

# Michael Dickreiter

# Handbuch der Tonstudiotechnik

# Band 2

Analoge Schallspeicherung, analoge Tonregieanlagen, Hörfunk-Betriebstechnik, digitale Tontechnik, Tonmeßtechnik

Herausgegeben von der Schule für Rundfunktechnik

5., völlig neubearbeitete und ergänzte Auflage

K·G·Saur München·NewYork·London·Paris 1990 Herausgeber: Schule für Rundfunktechnik Aus- und Fortbildungsinstitut der deutschen Rundfunk- und Fernseh-Anstalten Wallensteinstr. 121, 8500 Nürnberg 80

Für die in diesem Buch enthaltenen Angaben wird keine Gewähr hinsichtlich der Freiheit von gewerblichen Schutzrechten (Patente, Gebrauchsmuster, Warenzeichen) übernommen.
Auch die in diesem Buch wiedergegebenen Gebrauchsnamen, Handelsnamen und Warenbezeichnungen dürfen nicht als frei zur allgemeinen Benutzung im Sinne der Warenzeichen- und Markenschutz-Gesetzgebung betrachtet werden. Die Verletzung dieser Rechte ist im Rahmen der geltenden Gesetze strafbar und verpflichtet zu Schadenersatz.

#### CIP-Titelaufnahme der Deutschen Bibliothek

Handbuch der Tonstudiotechnik / hrsg. von d. Schule für Rundfunktechnik. Michael Dickreiter. – München; New York; London; Paris: Saur ISBN 3-598-10588-6 NE: Dickreiter, Michael [Bearb.]; Schule für Rundfunktechnik <Nürnberg>

Bd. 2. Analoge Schallspeicherung, analoge Tonregieanlagen, Hörfunk-Betriebstechnik, digitale Tontechnik, Tonmeßtechnik. – 5., völlig neubearb. u. erg. Aufl. – 1990 ISBN 3-598-10590-8

#### Gedruckt auf säurefreiem Papier

© 1990 by K. G. Saur Verlag GmbH & Co.KG, München (A member of the international Butterworth Group, London) Printed in the Federal Republic of Germany Alle Rechte vorbehalten · All rights strictly Reserved. Jede Art der Vervielfältigung ohne Erlaubnis des Verlages ist unzulässig

Druck: grafik + druck, München Binden: Thomas-Buchbinderei GmbH, Augsburg Printed in the Federal Republik of Germany

ISBN 3-598-10588-6 (Gesamt) ISBN 3-598-10590-8 (Band 2)

# **Vorwort**

Mit dem vorliegenden 2. Band der 5., völlig neubearbeiteten und ergänzten Ausgabe dieses Handbuchs wird die Darstellung der professionellen Tonstudiotechnik zum Abschluß gebracht. Während Band 1 vorwiegend Themen behandelt, die sich um die Aufnahmetechnik gruppieren, ist Band 2 weitgehend den Geräten und Anlagen der Tonstudiotechnik gewidmet: Analoge Schallaufzeichnung, Tonregieanlagen, Hörfunk-Betriebstechnik, Grundlagen der digitalen Tontechnik und der Meßtechnik sind die Themen, ergänzt durch ein englisch-deutsches Glossar. Gegenüber den bisherigen Auflagen wurde auf die Kapitel über Synchrontechnik, Schaltungstechnik und Fernsehtechnik verzichtet, dafür aber ein umfangreiches Kapitel über digitale Tontechnik hinzugefügt. Bei der Bearbeitung der 5. Auflage wurde neben der vollständigen Aktualisierung mehr Gewicht auf grundsätzliche Zusammenhänge und Fakten gelegt, firmenspezifische Lösungen treten demgegenüber in den Hintergrund. Beschrieben wird die professionelle Technik, die in den öffentlich-rechtlichen Rundfunkanstalten Deutschlands und in Sparten mit vergleichbar hohen Qualitätsansprüchen genutzt wird.

Die technische Entwicklung hat sich beschleunigt, einerseits durch die Einführung der Digitaltechnik, andererseits aber auch in der Analogtechnik durch die qualitativen Herausforderungen der Digitaltechnik. In welchem Umfang und wann digitale Techniken analoge Techniken ersetzen werden, ist derzeit schwer vorherzusagen. Sicher ist, daß analoge Techniken wegen ihres hohen Qualitätsstandards und ihrer Verbreitung noch lange konkurrenzfähig bleiben werden. Bei Fertigstellung dieses Buchs, mehr noch während der Planung und Erstellung des Manuskripts, spielen digitale Techniken erst im Bereich der Schallaufzeichnung, der Schallübertragung und der Effektgeräte sowie bei Steuerungsaufgaben eine Rolle. Dies spiegelt sich in Kapitel 10, das diesem Thema gewidmet ist, wider.

Meinen ganz herzlichen Dank möchte ich denen sagen, die an diesem Buch mitgearbeitet haben: Armin Vögeding (Agfa) für die Durchsicht der Abschnitte über magnetische Schallaufzeichnung in Kapitel 7, Jürgen Plogstedt (Barco-EMT) für die Durchsicht der Abschnitte über mechanische Schallaufzeichnung in Kapitel 7 und 11 und Christopher Vacano (Barco-EMT) für die Überarbeitung des englisch-deutschen Glossars. An Kapitel 9 haben als Autoren im Hause SRT mitgearbeitet: Cord Meinhard (9.2 Schaltraum), Leopold Kammerer (9.3 Sendekomplex und Schallaufnahme), Rudolf Antusch (9.6.4 Funkverbindungen bei Außenübertragungen), Werner Huder (9.7 Tonleitungsstern der Rundfunkanstalten), Rolf Nusser (Zusatzinformationen im Hörrundfunk) und Walter Frohneberg (9.10 Arbeitssicherheit). Ein ganz besonderer Dank gilt Manfred Dittmar (SRT), Autor von Kapitel 10 über die Grundlagen der digitalen Tontechnik, für seine Mitarbeit. Bei der Durchsicht der Manuskripte waren mit Korrekturen und ergänzenden Hinweisen behilflich meine

Kollegin Monika Gerber und meine Kollegen Rudolf Kalb, Cord Meinhard und Lothar Lechler. Schließlich bin ich dem Verlag K.G. Saur verbunden für die Geduld und die gute Zusammenarbeit.

Nürnberg, im Januar 1990

Michael Dickreiter

# Inhalt

7. Analoge Schallspeicherung	. 1
7.1 Magnetische Schallspeicherung	. 1
7.1.1 Grundlagen des Magnetismus	. 1
Magnetisches Feld	
Magnetische Induktion	. 3
Hysteresisschleife	. 4
7.1.2 Magnettonverfahren	
Einführung	
Magnettonbänder	. 8
Maße und Bandgeschwindigkeiten, 8 - Träger, 9 - Beschichtung, 11	
Aufzeichnungsvorgang	. 12
Aufzeichnung mit HF-Vormagnetisierung, 15 - Selbstentmagne-	
tisierungsverluste, 17	
Elektroakustische Eigenschaften von Bändern	. 18
Einfluß des Vormagnetisierungsstroms, 18 – Vormagnetisierungs-	
strombedarf und Arbeitspunkt, 20 - Bezugspegel, 21 - Frequenz-	
gang, 21 - Aussteuerbarkeit, 21 - Empfindlichkeit, 22 - Nichtlineare	
Verzerrungen, 22 – Jungfräuliches Rauschen und Betriebsrauschen,	
22 - Gleichfeldrauschen und Modulationsrauschen, 23 - Stör-	
spannungsabstand, 23 - Kopiereffekt und Echolöschung, 24 - Heim-	
ton- und Kassettengeräte, 26	
Wiedergabevorgang	. 26
Abstandsverluste, 28 – Spaltverluste, 28	
Entzerrung des Frequenzgangs	. 29
Löschvorgang	. 34
7.1.3 Systeme zur Rauschverminderung	. 36
Telcom-Verfahren	
Dolby-Verfahren	
7.1.4 Schnittbearbeitung von Bändern	
Bandschnitt	. 43
Kennzeichnung von Bändern	
Arbeitsverfahren beim Schnitt von Bändern	. 44
Schnitt von Sprachaufnahmen, 45 – Schnitt von Musikaufnahmen, 47 –	
Allgemeine Schnittverfahren, 47 – Schnitt bei Hörspielproduktionen	
und Musikmontagen, 48 – Schnitt von Mehrspuraufnahmen, 48 –	
Schnittlose Fehlerkorrektur 49	

7.1.5 Studio-Magnettonanlagen	49 51
Magnettonköpfe	54
Mehrspur-Magnettonanlagen	56 56 57
7.2 Mechanische Schallspeicherung	59
7.2.1 Aufzeichnung	60
Mono- und Stereoaufzeichnung	60
Lichtbandbreite	62
Schneidkennlinien	63
7.2.2 Plattenherstellung	65
Lackplatten-Schneidverfahren	65 66
DMM-Schneidverfahren	67
Abtastsysteme	67
Mechanischer Aufbau und Wirkungsweise, 67 – Abtastnadeln und Auflagekraft, 69	0,
Tonarm	70
Tonarm	70 71
Tonarm	
Tonarm	71
Tonarm	71 74
Tonarm	71 74 75
Tonarm  Geometrische Abtastverzerrungen  Spurverzerrungen bei Tiefenschrift, 72 – Klemmverzerrungen  bei Seitenschrift, 72 – Spurverzerrungen bei Seitenschrift, 73 –  Verzerrungen durch den vertikalen Spurfehlerwinkel, 73  Laufwerk  Verstärker  Normen	71 74 75 76
Tonarm  Geometrische Abtastverzerrungen  Spurverzerrungen bei Tiefenschrift, 72 – Klemmverzerrungen  bei Seitenschrift, 72 – Spurverzerrungen bei Seitenschrift, 73 –  Verzerrungen durch den vertikalen Spurfehlerwinkel, 73  Laufwerk  Verstärker  Normen  Magnetische Schallspeicherung	71 74 75 76 76
Tonarm  Geometrische Abtastverzerrungen  Spurverzerrungen bei Tiefenschrift, 72 – Klemmverzerrungen  bei Seitenschrift, 72 – Spurverzerrungen bei Seitenschrift, 73 –  Verzerrungen durch den vertikalen Spurfehlerwinkel, 73  Laufwerk  Verstärker  Normen  Magnetische Schallspeicherung  Mechanische Schallspeicherung	71 74 75 76 76 77
Tonarm  Geometrische Abtastverzerrungen  Spurverzerrungen bei Tiefenschrift, 72 – Klemmverzerrungen  bei Seitenschrift, 72 – Spurverzerrungen bei Seitenschrift, 73 –  Verzerrungen durch den vertikalen Spurfehlerwinkel, 73  Laufwerk  Verstärker  Normen  Magnetische Schallspeicherung	71 74 75 76 76
Tonarm  Geometrische Abtastverzerrungen  Spurverzerrungen bei Tiefenschrift, 72 – Klemmverzerrungen  bei Seitenschrift, 72 – Spurverzerrungen bei Seitenschrift, 73 –  Verzerrungen durch den vertikalen Spurfehlerwinkel, 73  Laufwerk  Verstärker  Normen  Magnetische Schallspeicherung  Mechanische Schallspeicherung  Pflichtenhefte und Richtlinien	71 74 75 76 76 77 78 79
Tonarm  Geometrische Abtastverzerrungen  Spurverzerrungen bei Tiefenschrift, 72 – Klemmverzerrungen  bei Seitenschrift, 72 – Spurverzerrungen bei Seitenschrift, 73 –  Verzerrungen durch den vertikalen Spurfehlerwinkel, 73  Laufwerk  Verstärker  Normen  Magnetische Schallspeicherung  Mechanische Schallspeicherung  Pflichtenhefte und Richtlinien  Literatur	71 74 75 76 76 77 78 79
Tonarm  Geometrische Abtastverzerrungen  Spurverzerrungen bei Tiefenschrift, 72 – Klemmverzerrungen  bei Seitenschrift, 72 – Spurverzerrungen bei Seitenschrift, 73 –  Verzerrungen durch den vertikalen Spurfehlerwinkel, 73  Laufwerk  Verstärker  Normen  Magnetische Schallspeicherung  Mechanische Schallspeicherung  Pflichtenhefte und Richtlinien  Literatur  8. Analoge Tonregieanlagen	74 75 76 76 77 78 79
Tonarm  Geometrische Abtastverzerrungen  Spurverzerrungen bei Tiefenschrift, 72 – Klemmverzerrungen  bei Seitenschrift, 72 – Spurverzerrungen bei Seitenschrift, 73 –  Verzerrungen durch den vertikalen Spurfehlerwinkel, 73  Laufwerk  Verstärker  Normen  Magnetische Schallspeicherung  Mechanische Schallspeicherung  Pflichtenhefte und Richtlinien  Literatur  8. Analoge Tonregieanlagen  8.1 Historische Entwicklung  8.2 Aufbau einer Tonregieanlage	74 75 76 76 77 78 79 81 84
Tonarm  Geometrische Abtastverzerrungen  Spurverzerrungen bei Tiefenschrift, 72 – Klemmverzerrungen  bei Seitenschrift, 72 – Spurverzerrungen bei Seitenschrift, 73 –  Verzerrungen durch den vertikalen Spurfehlerwinkel, 73  Laufwerk  Verstärker  Normen  Magnetische Schallspeicherung  Mechanische Schallspeicherung  Pflichtenhefte und Richtlinien  Literatur  8. Analoge Tonregieanlagen  8.1 Historische Entwicklung  8.2 Aufbau einer Tonregieanlage  8.3 Leitungsführung und Anpassung	71 74 75 76 76 77 78 79 81 84 85 88
Tonarm  Geometrische Abtastverzerrungen  Spurverzerrungen bei Tiefenschrift, 72 – Klemmverzerrungen  bei Seitenschrift, 72 – Spurverzerrungen bei Seitenschrift, 73 –  Verzerrungen durch den vertikalen Spurfehlerwinkel, 73  Laufwerk  Verstärker  Normen  Magnetische Schallspeicherung  Mechanische Schallspeicherung  Pflichtenhefte und Richtlinien  Literatur  8. Analoge Tonregieanlagen  8.1 Historische Entwicklung  8.2 Aufbau einer Tonregieanlage	71 74 75 76 76 77 78 79 81 84 85

		_			
8.3.4	Zusammenschaltung unterschiedlicher Ein- und Ausgangsschaltung	ını	gei	n.	93
	Erdung		-		94
	Anpassung				96
8.4 1	Leitungsverbindungen				98
	Klinken				98
	Kreuzschienenverteiler				102
	Steckverbindungen				105
	Schalter				107
8.5 N	Mikrofonverstärker				108
	Verstärkungseinstellung				
	Frequenzgang				
	Störpegel und Aussteuerungsfestigkeit				112
	Mikrofon-Trennverteiler				113
	Kommandoverstärker				114
8.6 A	Anschluß elektrischer Musikanlagen				114
	Sicherheit und Anschlußtechnik				
	nutztrennung				116
	odulationstrennübertrager				116
	Brummstörungen				119
	ummstörungen bei Verwendung eines Netz-Trenntransformators				119
Brı	ummstörungen durch Massenschleifen				119
Bru	ummstörungen durch Mehrfacherdung				120
8.7 F	Pegelsteller				122
8.7.1	VCA- und Servomotorpegelsteller				124
	Überblendregler				125
	Elektronische Blender				126
8.8 K	Knotenpunkte				127
	Knotenpunkte mit Spannungsanpassung				127
	Knotenpunkte mit Stromanpassung				128
	otenpunktverstärker				131
8.9 F	Hilfssummen				133
	Schaltungen für künstliche Verhallungen				136
	Schaltungen für Einspielwege				139
	Spezial- und Universalverstärker				140
	1 Spannungsverstärker				141
	fholverstärker				143
	tungsverstärker				143
Tre	ennverstärker				143

## Inhalt

8.10.2 Universalverstärker	145
Pegelverstärker	147
Knotenpunktverstärker	147
Trennverstärker	148
8.10.3 Anpaßverstärker	_
8.10.4 Leistungsverstärker	
•	
8.11 Akustische und optische Signalüberwachung	
8.11.1 Einrichtungen und Kontrollpunkte für Abhören	151
Abhöreinheit	152
Lautstärke, 153 – Balance, 156 – Seitenwechsel, 157 –	
Mono, 157 – Phasenwechsel, 157 – Leise, Kommando-	
Dämpfung, 157	
8.11.2 Einrichtungen und Kontrollpunkte für Vorhören	158
8.11.3 Mithöreinrichtung	
8.11.4 Pegeltongenerator	159
	139
8.12 Tonregieanlagen in Streifentechnik	161
8.12.1 Streifeneinheiten	162
Eingangseinheiten	163
Gruppen- und Summeneinheiten	168
Andere Einheiten	168
Hilfssummeneinheit, 172 – Monitoreinheit, 172 – Instrumenteneinheit, 172 – Kommandoeinheit, 172 – Summen-Ausgangseinheit, 172	
8.13 Die weitere Entwicklung	172
Pflichtenhefte und Richtlinien	176
Literatur	177
Literatur	1//
9. Hörfunk-Betriebstechnik	179
9.1 Betriebsablauforganisation im Hörfunk	179
9.2 Schaltraum	182
9.2.1 Betriebsabwicklung	182
9.2.2 Programmführung im Kreuzschienenverteiler	183
Ortsempfangsleitungen	185
Verteilung zwischen den Technikräumen	185
Ortssendeleitungen	185
Weitere Einrichtungen	186
Kontrolleinrichtungen und Überprüfungen	186
Programmführung in rechnergesteuerten Schalträumen	187

9.9.2 Frequenzmodulation	244
9.10 Arbeitssicherheit	250
9.10.1 Produktionsstätten beim Hörfunk	
9.10.2 Gefahren des elektrischen Stroms	
9.10.3 Schutz gegen direktes und indirektes Berühren spannungs-	231
führender Teile	254
Schutzkleinspannung, 254 – Schutzisolierung, 255 – Nullung mit separatem Schutzleiter, 255 – Fehlerstrom-Schutzschaltung, 257 – Schutztrennung, 258 – Schutzerdung, 258	
9.10.4 Inbetriebnahme von elektrischen Geräten und Anlagen	
9.10.5 Anschluß ortsveränderlicher Musikanlagen	
9.10.6 Erste Hilfe bei Stromunfällen	
Literatur	
10. Digitale Tontechnik	265
10.1 Analog/Digital-Umsetzung	267
10.1.1 Signaleigenschaften	267
10.1.2 Abtastung der Signale	
Darstellung im Zeitbereich	269
Darstellung im Frequenzbereich	271
Abtasttheorem	274
Halteschaltung	276
10.1.3 Analog/Digital-Wandlung	276
Quantisierung und Dynamik	
Lineare und nichtlineare Wandlung	279
A/D-Wandler	
D/A-Wandler	288
Wandlungsfehler	290
10.2 Digitale Signalübertragung und Speicherung	291

10.3.6 Filterung
11. Tonmeßtechnik
11.1 Verstärkung und Dämpfung elektrischer Geräte       363         11.1.1 Betriebsgrößen       365         11.1.2 Ein- und Ausgangsscheinwiderstände       366         11.1.3 Symmetrie       367
11.2 Verzerrungen       368         11.2.1 Lineare Verzerrungen       368         11.2.2 Nichtlineare Verzerrungen       368         Meßverfahren       371         Klirrfaktor, 376 – Intermodulationsfaktor, 378 –       371         Differenztonfaktor, 379
11.3 Störspannungen38011.3.1 Unbewertete Störspannungen38011.3.2 Bewertete Störspannungen38011.3.3 Systemrauschen und Betriebskennlinie38211.3.4 Tief- und Hochfrequenzfestigkeit, Knackstörungen384
11.4 Stereoparameter       384         11.4.1 Pegeldifferenzen       384         11.4.2 Phasendifferenzen       385         11.4.3 Übersprechen       387
11.5 Schallpegel38711.5.1 Bewertete Schallpegel38711.5.2 Subjektive Bewertung des Schallpegels389
11.6 Messungen an Mikrofonen39011.6.1 Feld-Übertragungsfaktor und Feld-Übertragungsmaß39111.6.2 Frequenzgang391Messung im Freifeld391Messung im Diffusfeld393
11.6.3 Richtwirkung
11.7 Messungen an Lautsprechern und Lautsprechersystemen

I	Inhalt
Richtungsfaktor, Richtungsmaß und Richtcharakteristik	398 398 399 399
11.8 Messungen an Magnettonanlagen	399
Bandzug, 400 – Bandgeschwindigkeit, 400 – Schlupf, 400 – Tonhöhenschwankungen, 400 – Hochlaufzeit, 401	400
Elektrische Messungen am Wiedergabekanal	401
Arbeitspunkt, 403 – Spaltlage (Azimut) und Phase, 403 – Bezugspegel, 404 – Frequenzgang, 404 – Übersprechen, 404 – Störpegelabstand, 404 – Klirrdämpfung, 404 – Löschdämpfung, 405 Meßhilfsmittel  11.8.2 Messungen an Heimton- und Kassettengeräten	405 405
11.9 Messungen an Plattenspielern	406
Umdrehungsgeschwindigkeit	406 406 406
Auflagekraft Frequenzgang Übersprechdämpfung Verzerrungen	407 408 408 408
Normen	408 410 410
Fachausdrücke Englisch-Deutsch	412
Blockschaltsymbole	424 424
Meßinstrumente	425 426 429
Bauelemente	429
Sachregister Band 1 und 2	433

# 7. Analoge Schallspeicherung

Für die Schallspeicherung kommen eine ganze Reihe von Verfahren in Betracht. Das jeweils geeignete Verfahren richtet sich nach verschiedenen Gesichtspunkten. Beurteilungskriterien sind u.a.: Qualität, Betriebsablauf, Betriebssicherheit, Wirtschaftlichkeit. Während die digitalen Speicherverfahren heute vor allem für hochwertige, aufwendige Wort- und Musikproduktionen oder Mitschnitte verwendet werden, zunehmend aber auch als Kassettengeräte im aktuellen Bereich an Boden gewinnen, sind die analogen Verfahren bei aktuellen Beiträgen, bei Produktionen und Mitschnitten, deren Archivwert nicht höchsten Ansprüchen entspricht, geeignet. Die in den letzten Jahren entwickelten Kompanderverfahren gewährleisten auch hier eine hervorragende Tonqualität. Inwiefern sich die Nutzung der digitalen Aufzeichnungsverfahren in der Zukunft verschieben wird, ist derzeit nur schwer abzusehen.

Von den zur Verfügung stehenden analogen Verfahren wird im Tonstudiobereich in erster Linie das Magnettonverfahren eingesetzt, Speichermedien sind dabei Magnetbänder. Die Speicherung auf Magnetplatten hat im Bereich der Analogtechnik keine Bedeutung. Als direktes Aufzeichnungsmedium (Direktschnitt) ist die Schallplatte seit der Einführung der digitalen Schallspeicherung auf Magnetband heute unbedeutend. Ein weiteres Verfahren ist das Lichttonverfahren. Aus betriebstechnischen, nicht aus qualitativen Gründen, wird dieses Verfahren beim Tonfilm nach wie vor angewendet.

# 7.1 Magnetische Schallspeicherung

# 7.1.1 Grundlagen des Magnetismus

## **Magnetisches Feld**

Ein vom Strom durchflossener elektrischer Leiter wird von einem magnetischen Feld umgeben, dessen Stärke proportional der Stromstärke I ist. Die magnetischen Feldlinien veranschaulichen die Eigenschaften des Feldes; sie sind im Gegensatz zu den elektrischen Feldlinien stets in sich geschlossen. Ihre Dichte ist ein Maß für die Stärke des Feldes. Beim geraden Einzelleiter ergeben sich bei einem den Leiter senkrecht schneidenden Feldlinienbild konzentrische Kreise um den Leiter (Abb. 7/1).

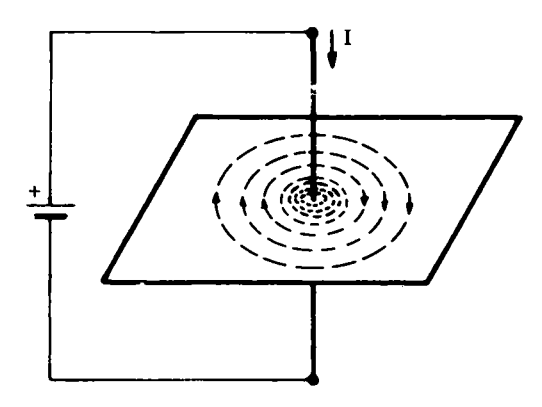
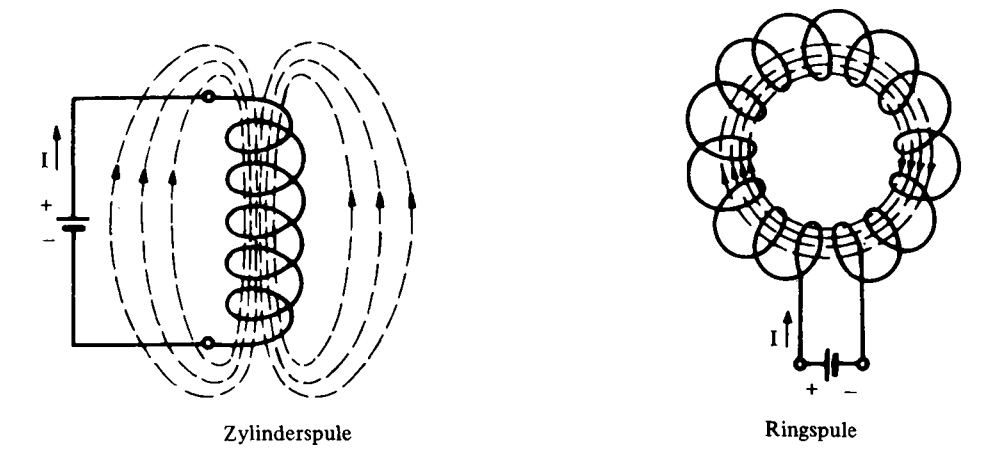


Abb. 7/1. Magnetische Feldlinien des stromdurchflossenen Einzelleiters.

Wickelt man den Leiter zu einer Spule auf, so gleicht das Feld außerhalb der Spule dem Feld eines Stabmagneten; im Inneren der Spule entsteht ein annähernd homogenes Feld, die Feldlinien verlaufen hier also weitgehend parallel und mit demselben Abstand (Abb. 7/2).



**Abb. 7/2.** Magnetische Feldlinien einer stromdurchflossenen Zylinderspule und einer stromdurchflossenen Ringspule.

Wird die Spule endlich zu einem geschlossenen Ring zusammengebogen (Abb. 7/2), bleibt das Feld im Inneren des Rings nahezu homogen, das äußere Feld jedoch verschwindet, da die Feldlinien jetzt im Inneren der Spule geschlossene Kreise bilden können. Die Größe der magnetischen Feldstärke H im Inneren einer Spule ist proportional der Stromstärke I und der Windungszahl N der Spule, jedoch umgekehrt

proportional zur Spulenlänge 1. Die magnetische Feldstärke oder magnetische Erregung H wird in Ampere/Meter [A/m] gemessen (DIN 1325).

$$H = \frac{N \cdot I}{l}$$

$$H = \text{magnetische Feldstärke oder magnetische Erregung [A/m]}$$

$$N = \text{Windungszahl [dimensionslos]}$$

I = Stromstärke [A]
I = Länge der Spule [m]

# **Magnetische Induktion**

Bringt man in das Innere einer stromdurchflossenen Spule einen Kern aus Eisen oder einem anderen "ferromagnetischen" Stoff, so ändert sich die Feldstärke H nicht, da sie bei gegebener Windungszahl und Spulenlänge nur von der Stromstärke abhängt. Die magnetische Flußdichte oder Induktion B hingegen erhöht dabei ihren Wert u.U. ganz erheblich. Sie ist der Feldstärke H proportional, wird aber auch von den magnetischen Eigenschaften des Materials bestimmt, das das Magnetfeld ausfüllt. Der Zusammenhang zwischen der Flußdichte B und der Feldstärke H ist

$$B = \mu_r \cdot \mu_o \cdot H \text{ oder } B = \mu \cdot H$$

$$\text{mit } \mu = \mu_r \cdot \mu_o$$

$$\text{mit } \mu = \mu_r \cdot \mu_o$$

$$\text{sche Induktion } [T], [Vs/m^2]$$

$$\mu_r = \text{relative Permeabilität oder Permeabilitätszahl [dimensionslos]}$$

$$\mu_o = \text{magnetische Feldkonstante } [Vs/Am]$$

$$\mu = \text{Permeabilität } [Vs/Am]$$

$$H = \text{magnetische Feldstärke } [A/m]$$

Die magnetische Flußdichte B wird in Tesla (T) gemessen (1T = 1 Vs/m²), früher in Gauß (G) (1T =  $10^4$  G).  $\mu_r$  ist eine materialabhängige Zahl,  $\mu_o$  hingegen ist eine physikalische Konstante, die sog. magnetische Feldkonstante ( $\mu_o = 1,256 \cdot 10^{-6}$  Vs/Am). Der gesamte magnetische Fluß  $\Phi$  im Inneren einer Spule ergibt sich als Produkt aus der Flußdichte B und dem Querschnitt A des Kerns.

$$\Phi = B \cdot A$$
  $\Phi = magnetischer Fluß [Wb], [Vs]$ 
 $B = magnetische Flußdichte [T], [Vs/m^2]$ 
 $A = Kernquerschnitt [m^2]$ 

 $\Phi$  wird in Weber (Wb) oder Voltsekunden (Vs) angegeben, früher in Maxwell (M) (1M =  $10^{-8}$  Wb).

Die relative Permeabilität oder Permeabilitätszahl  $\mu_r$  bezeichnet die magnetischen Eigenschaften eines Materials, sie kann auch als magnetische Leitfähigkeit aufge-

faßt werden. Stoffe mit großer magnetischer Leitfähigkeit, wie z.B. Eisen, Nickel und Eisen-Nickel-Legierungen, heißen "ferromagnetische Stoffe", für sie ist  $\mu_r$  » 1.

Läßt man im ferromagnetischen Ringkern eines Tonkopfes einen schmalen Spalt, so entsteht darin eine sehr hohe Feldstärke. Denn die magnetische Leitfähigkeit der Luftstrecke (entsprechend dem Wert von  $\mu_r$ ) ist sehr klein gegenüber der Leitfähigkeit des ferromagnetischen Materials. So liegt über der Strecke des Luftspaltes ein sehr hoher "magnetischer Spannungsabfall". Wegen der geringen Leitfähigkeit im Spalt tritt sogar eine merkliche Anzahl von Feldlinien aus dem Spalt des Ringkerns heraus. (Abb. 7/3).

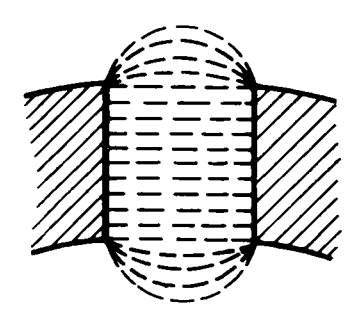


Abb. 7/3. Magnetische Feldlinien im Spalt eines Ringkerns.

### Hysteresisschleife

Läßt man nun – von Null ausgehend – einen immer stärkeren Strom durch eine Spule mit einem entmagnetisierten ferromagnetischen und geschlossenen Ringkern fließen, so steigt nach der Gleichung  $H = N \cdot I/l$  (siehe oben) die magnetische Feldstärke H proportional zur Stromstärke I. Die magnetische Flußdichte oder Induktion B wächst ebenfalls, aber keineswegs linear. Der Zusammenhang von H und B ist in Abb. 7/4 als gestrichelte Kurve dargestellt. Sie wird auch "jungfräuliche Kurve" oder "Neukurve" genannt, da der Magnetisierungsvorgang bei unmagnetisiertem Material beginnt.

Bei hoher Feldstärke H ergibt sich eine Sättigung des Materials; dort wächst B nur noch in dem Maße, wie dies auch ohne Kern der Fall wäre. Verringert man die Stromstärke I wieder, so kehrt B nicht auf der Neukurve in den Nullpunkt zurück, sondern bewegt sich auf der als "Hysteresisschleife" bezeichneten Kurve. Auch bei abgeschaltetem Strom, also bei H=0, bleibt eine magnetische Induktion  $B_r$ , die sog. Remanenz, im Kern zurück. Um sie zu beseitigen, muß ein Strom in entgegengesetzter Richtung durch die Spule fließen. Erst wenn dieser die Feldstärke  $H_c$  erzeugt, verschwindet die Induktion des Kerns. Diese "Gegen"-Feldstärke  $H_c$ , hervorgerufen durch einen Strom in entgegengesetzter Richtung, löscht die Induktion.

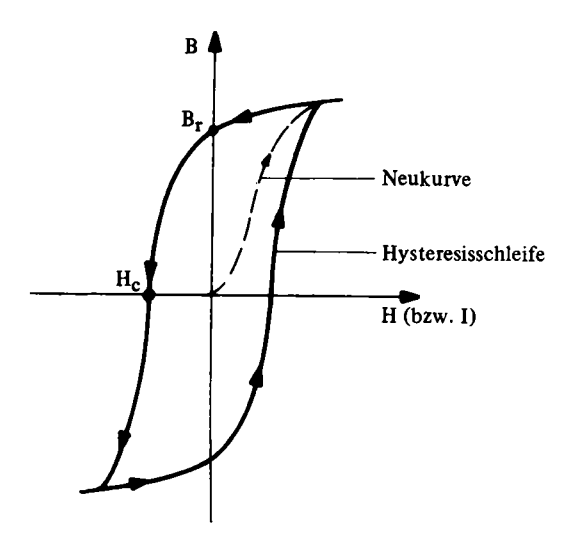


Abb. 7/4. Neukurve (----) und Hysteresisschleife (----).

Sie heißt Koerzitivfeldstärke oder Koerzitivkraft. Steigert man die Stromstärke weiter in diese Richtung, so erreicht man wieder eine Sättigung des Kerns.

Der nach weiterem Umpolen des Stroms zu beobachtende Verlauf entspricht der bereits geschilderten Kurve. Die so entstandene Schleife heißt – wie bereits erwähnt – Hysteresisschleife. Sie läßt erkennen, daß die magnetische Induktion B in einem ferromagnetischen Stoff nicht eindeutig durch die gerade einwirkende Feldstärke H bestimmt ist, sondern weitgehend von der magnetischen Vorgeschichte des Materials abhängt.

Die Form der Hysteresiskurve ist charakteristisch für die einzelnen Materialien. "Magnetisch harte" oder "hochkoerzitive" Stoffe haben breite, großflächige Schleifen mit hohen Werten für Remanenz B<sub>r</sub> und Koerzitivfeldstärke H<sub>c</sub>, "magnetisch weiche" Stoffe besitzen dagegen schmale Schleifen, also niedrige Werte der Koerzitivfeldstärke (Abb. 7/5).

Magnetisch harte Materialien werden in Lautsprechern, in Tauchspulmikrofonen und zur Beschichtung von Magnetbändern verwendet, magnetisch weiche Stoffe dagegen in Drosseln, Übertragern, Magnetköpfen, Relais und Elektromagneten. Da die von der Hysteresisschleife umschlossene Fläche ein Maß ist für die zur Ummagnetisierung erforderliche Arbeit, wählt man überall dort, wo eine Wechselmagnetisierung auftritt (z.B. Übertrager und Magnetköpfe), Materialien mit möglichst schmaler Schleife und damit geringer Ummagnetisierungsarbeit; die Eisenverluste können so niedrig gehalten werden. Wo es aber darauf ankommt, eine Magnetisierung zeitlich lange zu erhalten und vor einer Entmagnetisierung zu schützen, wie

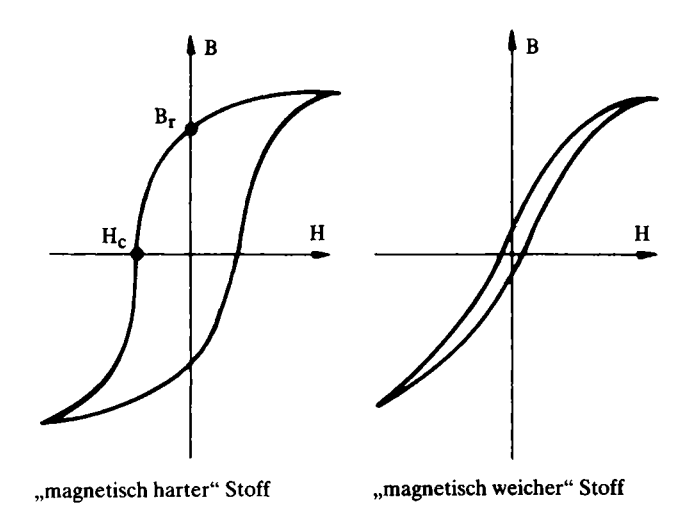


Abb. 7/5. Hysteresisschleife verschiedener Materialien.

beim Magnetband, sind magnetisch harte Materialien geeignet. Es handelt sich dabei also um Permanentmagnete.

Die Remanenz kann wieder gelöscht werden durch ein starkes magnetisches Wechselfeld, das langsam abklingt bzw. aus dem das magnetisierte Material langsam entfernt wird. Auf diese Weise wird die durchlaufene Hysteresisschleife immer kleiner und schnürt sich schließlich ganz um den Nullpunkt zusammen.

# 7.1.2 Magnettonverfahren

Das Magnettonverfahren ist das Verfahren, mit dem Schallsignale oder andere Signale auf magnetisierbare Materialien aufgezeichnet, gespeichert und wieder ausgelesen werden. [7.1 bis 7.4]

Das seit der Jahrhundertwende im Prinzip bekannte Magnettonverfahren wurde von C. Stille weiterentwickelt; 1923 begann die Fertigung von Stahltonmaschinen durch die Vox-Gesellschaft nach dem Stille-Verfahren. Die bald darauf auch im Rundfunk verwendeten Stahlbänder waren 0,8 mm dick und 3 mm breit; bei einer Bandgeschwindigkeit von 1,5 m/s hatte eine Bandspule bereits 30 min Spielzeit. Die Qualität der Stahltonaufzeichnung war der Aufzeichnung auf Wachsplatten unterlegen. Verbesserungen brachte die Einführung eines unmagnetischen, mit einer magnetisierbaren Schicht überzogenen Tonträgers (P. Pfleumer, 1928) und die Entwicklung ringförmiger Tonköpfe (E. Schüller, 1933). 1938 wurde das Magnetton-

verfahren in den deutschen Rundfunkanstalten eingeführt. Die Bandbreite betrug wie noch heute 1/4', die Bandgeschwindigkeit 30' entsprechend rund 76 cm/s. Aber erst die Entdeckung der hochfrequenten Vormagnetisierung durch v. Braunmühl und Weber 1941 machte das Verfahren auch für hochwertige Musikaufnahmen geeignet.

Der erreichte Entwicklungsstand des Magnettonverfahrens wurde international erst nach dem Kriege bekannt. 1952 fand in Hamburg eine UER-Fachtagung zur magnetischen Aufzeichnung statt, von der die Initiative zu einer internationalen Normung des Verfahrens durch CCIR ausging; damit war die Grundlage für einen internationalen Bandaustausch geschaffen. In den folgenden Jahren konnte das Verfahren dann in Zusammenarbeit der Entwicklungsstellen des Rundfunks und der Industrie noch erheblich verbessert werden. Damit stellt sich das Magnettonverfahren als eine der bedeutenden technischen Entwicklungen des deutschen Rundfunks dar.

Die Einführung des Magnettonverfahrens veränderte die Produktionsmethoden der Tonaufnahme grundlegend: Die Bänder konnten beliebig gelöscht und neu aufgezeichnet werden, sie konnten geschnitten und beliebig oft abgespielt werden, Produktionsmethoden, die mit der bis dahin üblichen Aufzeichnung auf Wachs- oder andere Platten nicht möglich waren.

## Einführung

Bei der magnetischen Schallspeicherung (Begriffe in DIN 45 510) erfolgt die Aufzeichnung der Information dadurch, daß ein magnetisierbares Material (Tonträger) vor dem Spalt eines Sprechkopfes (Aufnahmekopf) vorbeigeführt wird, in dessen Wicklung ein dem aufzeichnenden Vorgang entsprechender Wechselstrom fließt. Das dadurch vor dessen Spalt erzeugte Wechselfeld verursacht im Tonträger eine bleibende Magnetisierung örtlich wechselnder Größe und Richtung. Wird ein so "besprochener Tonträger" vor dem Spalt eines Hörkopfes (Wiedergabekopf) vorbeigeführt, so induziert das von dem bewegten Tonträger ausgehende magnetische Wechselfeld in der Hörkopfwicklung eine Spannung. Bevor das Band aber an den Sprech- und Hörkopf gelangt, wird vor der Aufnahme mit einem Löschkopf eine eventuell vorhandene Magnetisierung gelöscht (Abb. 7/6).

Von den verschiedenen Tonträgern hat das Magnettonband in der Tonstudiotechnik die größte Bedeutung. Daneben spielt nur noch der Magnetfilm, ein Magnetband größerer Breite mit Filmperforation, das aus mechanischen Gründen einen stärkeren Träger besitzt, im Bereich der bildsynchronen Tonaufzeichnung eine nennenswerte Rolle.

Grundlage der heute universellen Verwendung des Magnetbandes im Tonstudio ist die allgemeingültige Festlegung der Merkmale des aufgezeichneten Signals, also des Wiedergabekanals einer Magnettonanlage. Die entsprechenden Normungen gewährleisten den uneingeschränkten Austausch bespielter Bänder. Sie sind in den verschiedenen DIN-Bezugsbändern, die mit Meßsignalen bespielt sind, und den Re-

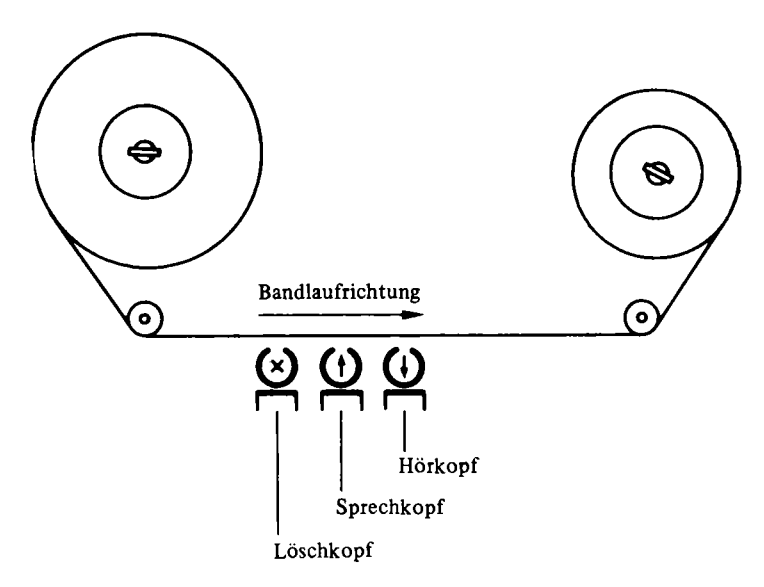


Abb. 7/6. Prinzip der Magnettonaufzeichnung.

ferenzleerbändern festgelegt. Mit der einseitigen Normung des Wiedergabekanals können im Rahmen der bestehenden Normung stets Verbesserungen an Tonbändern, aber auch unterschiedliche Bänder mit speziellen Eigenschaften nach entsprechenden Einmessungen verwendet werden. Wegen der Festlegungen des Wiedergabekanals haben Weiterentwicklungen keine Auswirkungen auf den Abspielbetrieb.

#### Magnettonbänder

#### Maße und Bandgeschwindigkeiten

Moderne Magnettonbänder nach DIN 45 512 bestehen aus einem in der Regel 6,30 mm breiten und etwa 8 bis 40  $\mu$ m starken Träger aus Kunststoff, der mit einer 10 bis 15  $\mu$ m (bei hochaussteuerbaren Bändern bis zu 25  $\mu$ m) starken Schicht aus kleinsten Teilchen magnetisierbaren Materials (Eisenoxid, bei Kassettenbändern auch Chromdioxid, Reineisen bzw. Eisen-Chrom-Mischungen) beschichtet ist. Die Teilchen sind in ein Bindemittel ("Lack") eingebettet und nehmen 25–35% des Volumens der Beschichtung ein (Volumenfüllfaktor). Ihrer Gesamtdicke nach werden die Bänder in fünf Klassen eingeteilt (DIN 45 511).

Normalbänder ca.  $50 \mu m$ Langspielbänder ca.  $35 \mu m$ Doppelspielbänder ca.  $25 \mu m$ 

Dreifachspielbänder ca. 18  $\mu$ m (veraltet, nicht mehr für 1/4')

Die 6,30 mm (+ 0/-0.06 mm) breiten Bänder werden auch 1/4-Zoll-Bänder genannt, da das Nennmaß ursprünglich vom Zollmaß abgeleitet wurde (1/4'' = 6.35 mm). Da-

neben werden auch Bänder verwendet, deren Breite ein ganzzahliges Vielfaches von 1/4-Zoll beträgt, insbesondere sogenannte 1/2- und 1-Zoll-Bänder (12,70 mm und 25,40 mm).

Außer diesen, für die Technik mit offenen Spulen und Wickelkernen bestimmten Bändern sind auch 3,81 mm breite Bänder mit einer Gesamtstärke von 8 bis 18  $\mu$ m in Kompaktkassetten in Verwendung. Im Bereich der bildsynchronen Tonaufzeichnung werden perforierte Magnetfilme mit Gesamtdicken von 8 bis 140  $\mu$ m eingesetzt.

Neben der Aufzeichnung in Mono-Vollspur wird im Studiobetrieb vor allem in sog. Stereospur aufgezeichnet. Demgegenüber ist Zweispurbetrieb bei um etwa 1 dB geringerem Störabstand zwar auch für die Stereoaufzeichnung geeignet, erlaubt aber Monobetrieb mit gutem Übersprechabstand oder auch Time-code- oder Steuerspuraufzeichnungen in der größeren Trennspur (Abb. 7/7).

Der Abstand der Aufzeichnungsspuren beträgt bei Zweispur 2,0 mm, bei Stereospur 0,75 mm. Wegen der Ähnlichkeit und Zusammengehörigkeit der Stereospuren stört hier das höhere Übersprechen nicht. Die Abmessungen der Spuren auf Bändern für Mehrspuraufnahmen zeigt *Tab. 7/1*. Bei Heimtongeräten erfolgt keine Unterscheidung zwischen Stereo- und Zweispurgeräten; der Spurabstand beträgt hier stets 2 mm. Bei der Vierspuraufzeichnung auf 6,3 mm breites Band liegt der Spurabstand ebenfalls bei 0,75 mm, die Spurbreite bei jedoch nur 1 mm; dadurch ist der Störabstand verglichen mit der 2,75 mm-Spur merklich geringer (ca. 4 dB).

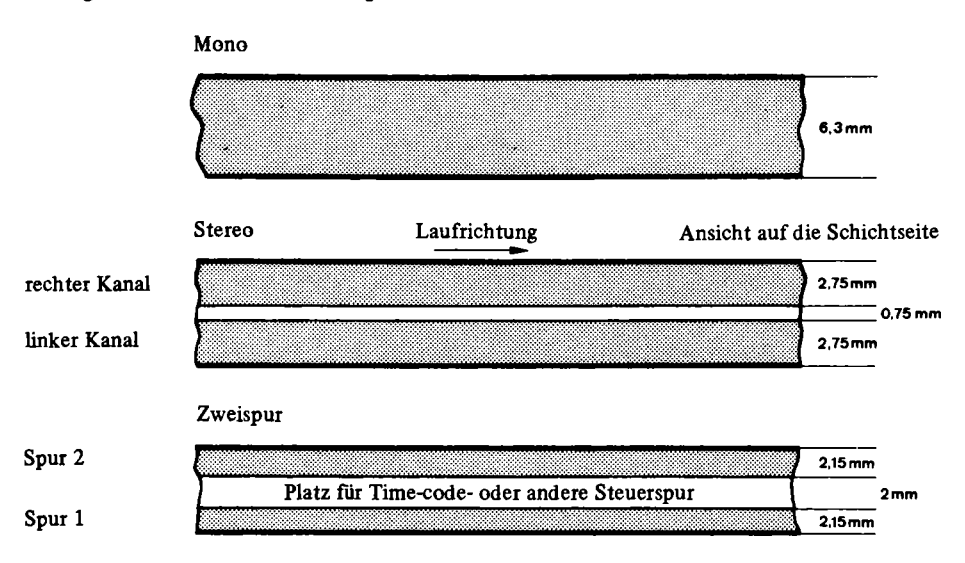
Die Bandgeschwindigkeiten sind genormt (DIN 15 573), die bevorzugte Bandgeschwindigkeit im Tonstudio beträgt 38,1 cm/s entsprechend 15'/s. Diese Bandgeschwindigkeit war zunächst aus qualitativen Gründen notwendig – nachdem in der Anfangszeit der magnetischen Aufzeichnung eine Geschwindigkeit von 76,2 cm/s üblich war –, erwies sich aber auch für die Bearbeitung von Tonaufnahmen mittels Bandschnitt als besonders geeignet. Aus wirtschaftlichen Gründen kommt schließlich die Bandgeschwindigkeit 19.05 cm/s entsprechend 7,5'/s in Betracht, wenn keine oder nur geringe Bandbearbeitungen notwendig sind; in Verbindung mit einem leistungsfähigen Kompanderverfahren ist die Tonqualität durchaus befriedigend. Für schwierige Bearbeitungen kann gelegentlich auch die Geschwindigkeit 76,2 cm/s entsprechend 30'/s in Betracht kommen. Die Tonhöhenschwankungen liegen heute bei 0,04% für 38,1 cm/s und 0,06% für 19,05 cm/s (DIN 45 507).

Studiobänder werden im allgemeinen auf freitragenden Wickelkernen in einer Länge von 1000 m oder 730 m geliefert, Reportagebänder auf Dreizackspulen auf 250-m- oder ebenfalls 1000-m-Wickeln.

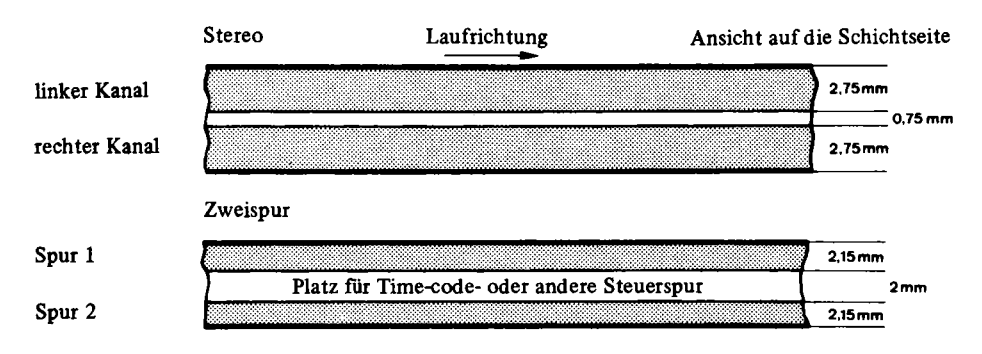
#### Träger

Der Träger bestimmt weitgehend die mechanischen Eigenschaften des Bandes (DIN 45 522). Als Trägermaterial wird wegen der geforderten hohen Festigkeit und

#### Studiogeräte mit deutscher Schichtlage



#### Studiogeräte mit internationaler Schichtlage



#### Heimgeräte (internationale Schichtlage)

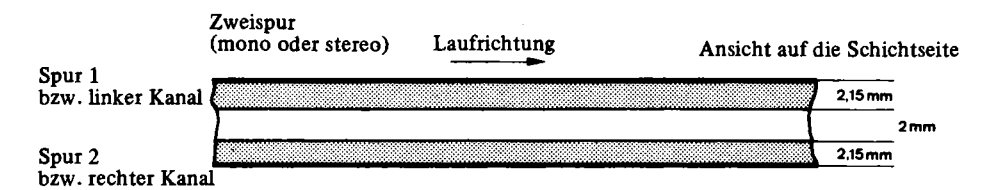


Abb. 7/7. Spurlagen und -abmessungen beim ¼-Zoll-Band (Blick auf die Schichtseite) nach DIN 45 511, Tl. 2.

Breite des Bai in mm	ndes in Zoll	Zahl der Spuren	Breite der Spuren	Breite der Trennspuren
12,7	1/2	4	1,75 mm	1,55 mm
25,4	1	4	4,45 mm	2,20 mm
25,4	1	8	1,75 mm	1,55 mm
50,8	2	16	1,75 mm	1,475 mm
50,8	2	24	1,00 mm	1,13 mm
50,8	2	32	0,70 mm	0,88 mm

Tab. 7/1. Mehrspurbänder, Breite der Spuren und Trennspuren nach DIN IEC 94, Tl. 6.

Schmiegsamkeit vor allem Polyester (PE) verwendet, früher auch Polyvinylchlorid (PVC).

Durch kräftiges Vorrecken in Quer- und Längsrichtung erreichen moderne Bänder so hohe Festigkeitswerte, daß Bandrisse und -dehnungen praktisch nicht mehr auftreten. Als Studioband wird im allgemeinen Normalband mit einer Schichtdicke von ca. 15–20  $\mu$ m und einer Trägerdicke um 30  $\mu$ m verwendet. Für Reportagegeräte eignet sich wegen der bei gleicher Spieldauer erforderlichen kleineren Wickel Langspielband mit einer Schichtdicke von ca. 10  $\mu$ m und einer Trägerdicke von ca. 25  $\mu$ m.

## Beschichtung

Die magnetischen Teilchen der Schicht bestehen bei Studiobändern aus Eisenoxid ( $\gamma$ -Fe $_2$ O $_2$ , seltener auch Fe $_3$ O $_4$ ). Die Teilchen werden auf eine Größe unter 1  $\mu$ m gemahlen. Die relative Permeabilität  $\mu_r$  der Schicht liegt bei etwa 1,5 bis 3. Zur Erhöhung der Aussteuerbarkeit werden die Bänder mit einer magnetischen Vorzugsrichtung hergestellt, indem das Band unmittelbar nach der Beschichtung in flüssigem Lackzustand einem kräftigen magnetischen Gleichfeld in Richtung der Nutzkomponente bei der späteren Aufzeichnung, also in Längsrichtung, ausgesetzt wird. Dadurch kann die Remanenz in Längsrichtung doppelt so groß wie in Querrichtung werden.

Bei kleineren Bandgeschwindigkeiten können Bänder mit dünnerer Beschichtung verwendet werden, da eine dicke Beschichtung nur für die Aufzeichnung großer Wellenlängen vorteilhaft und die aufgezeichnete Wellenlänge der Bandgeschwindigkeit proportional ist. Diese Zusammenhänge werden physikalisch mit der sog. wirksamen Schichtdicke bezeichnet. Gleichzeitig sucht man den Volumenfüllfaktor zu erhöhen und durch eine polierte Oberfläche und dünne, schmiegsame Träger den Kontakt des Bandes mit dem Kopf zu verbessern.

Bei kleinen Bandgeschwindigkeiten (4,76 und 9,5 cm/s) sind die Wellenlängen der auf dem Band aufgezeichneten Modulation sehr gering; schon bei 38 cm/s entspricht einer Frequenz von 15 kHz eine Wellenlänge von 25  $\mu$ m, bei 4,76 cm/s beträgt die Wellenlänge gerade ca. 3  $\mu$ m. Bestmöglicher Kopf-Bandkontakt ist deshalb Voraussetzung für eine gute Qualität der Bandaufzeichnung; sie wird durch hohe Elastizität des Trägers, also besonders dünne Träger, und durch besonders glatte Oberflächen erreicht. Durch die Verwendung von Chromdioxid (CrO<sub>2</sub>) oder Reineisen (Fe) kann der Füllfaktor, also die Packungsdichte der Magnetschichten, erheblich gesteigert werden. Dies gilt insbesondere für das Reineisenband, dessen magnetische Partikel längs ausgerichtete Nadeln sind.

## Aufzeichnungsvorgang

Fließt durch die Wicklung eines Sprechkopfes ein Wechselstrom, so entsteht zwischen den Polschuhen des Kerns im Arbeitsspalt ein entsprechendes magnetisches Wechselfeld. Wegen der hohen Permeabilität des Eisenkerns, die man sich als hohe magnetische Leitfähigkeit vorstellen kann, und der geringen Permeabilität des Luftspaltes (geringe magnetische Leitfähigkeit) verursacht der Spalt einen hohen magnetischen Widerstand, der ein kräftiges magnetisches Streufeld zur Folge hat. Begünstigt durch eine starke Verjüngung der Polschuhe am Spalt treten Feldlinien auch aus dem Spalt heraus und dringen in die Magnetschicht des vorbeigleitenden Bandes ein (Abb. 7/8) [7/4].

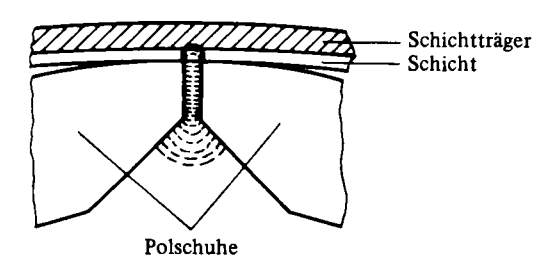


Abb. 7/8. Spaltfeld.

Die magnetischen Partikel des Bandes, das vor dem Spalt vorbeigeführt wird, behalten einen remanenten Fluß. So entsteht auf dem Band ein Abbild des Wechselfeldes vor dem Spalt. Die Wellenlänge  $\lambda$  einer auf das Band gebrachten Schwingung ist direkt abhängig von der Bandgeschwindigkeit v und umgekehrt abhängig von der Frequenz f des Wechselfeldes:

$$\lambda = \frac{v}{f}$$

$$\lambda = \text{Wellenlänge [cm]}$$

$$v = \text{Bandgeschwindigkeit [cm/s]}$$

$$f = \text{Frequenz [Hz], [1/s]}$$

Bei v = 38 cm/s beträgt die aufgesprochene Wellenlänge also zwischen etwa 1 cm bei 40 Hz und 25  $\mu$ m bei 15 kHz. Das Band wird vor allem in Längsrichtung magnetisiert, es ergibt sich aber auch eine senkrecht zur Bandoberfläche stehende Komponente. Da für die nachfolgende Abtastung mit einem weiteren Ringkopf hauptsächlich die Längskomponente wirksam ist, wird bei der folgenden Betrachtung nur diese Komponente berücksichtigt. Abb. 7/9 zeigt schematisch anhand eines Stabmagnetenmodells das auf Band aufgezeichnete Signal.

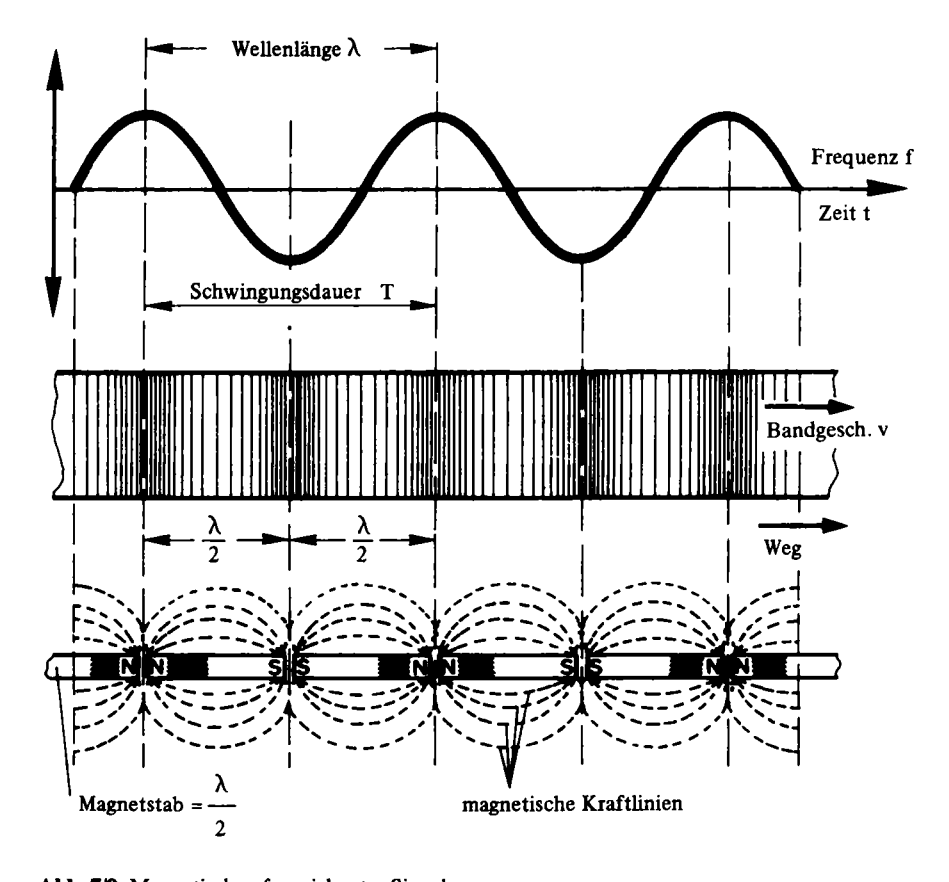


Abb. 7/9. Magnetisch aufgezeichnetes Signal.

Ausgangspunkt aller Überlegungen zum Aufnahmevorgang ist die Remanenzkurve des Magnettonbandes (Abb. 7/10, dick ausgezogen). Mit Annäherung eines Bandabschnitts an den Spalt, der zunächst nur ein stationäres Magnetfeld besitzen soll, folgt die magnetische Flußdichte oder Induktion B auf dem Band zunächst der Neukurve (Abb. 7/10 gestrichelt), da die Feldstärke H mit sich verringerndem Abstand zunimmt.

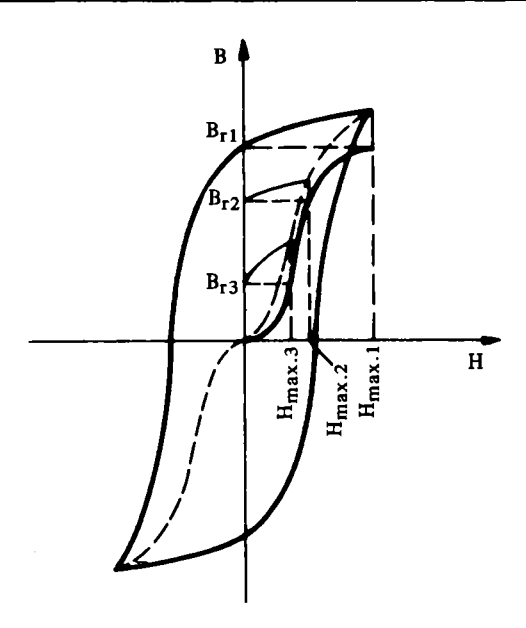


Abb. 7/10. Hysteresiskurve (——)
Neukurve (----)
Remanenzkurve (——) des Magnetbandes.

Nach Überschreiten des Maximums der Feldstärke  $H_{max1}$  kehrt die Flußdichte B auf die B-Achse, entsprechend H=0, zurück. Für H=0 ist der betreffende Bandabschnitt auch bereits am Spalt vorbei. Auf dem Band zurückgeblieben ist dabei die remanente Induktion  $B_{r1}$ . Verfolgt man diesen Vorgang für verschiedene, aber immer kleinere Feldstärken  $H_{max2}$ ,  $H_{max3}$  usw., so ergeben sich die Remanenzen  $B_{r2}$ ,  $B_{r3}$  usw. Werden alle Punkte  $H_{max}/B_{max}$  miteinander verbunden, so erhält man die Remanenzkurve (dick ausgezogen), die somit angibt, wie die Remanenz auf einem vorher entmagnetisierten Band von der jeweils höchsten einwirkenden Feldstärke H abhängt.

Da diese Kurve sowohl in der Umgebung des Nullpunktes als auch an ihren Enden stark gekrümmt ist, besteht eine ausgesprochene Nichtlinearität zwischen dem Aufsprechstrom und der remanenten Magnetisierung, die damit untragbare Verzerrungen erzeugt; die Direktaufzeichnung (Abb. 7/11) kommt also für die magnetische Tonaufzeichnung nicht in Betracht. Bei der magnetischen Bildaufzeichnung stören diese Verzerrungen allerdings nicht, da hier das Signal in Frequenzmodulation aufgezeichnet wird mit all den Vorteilen, die auch der frequenzmodulierte Rundfunk (UKW) bietet.

Es gibt grundsätzlich zwei Möglichkeiten, die Verzerrungen auf ein akzeptables Maß zu reduzieren: Man verlegt entweder den Arbeitspunkt in den geraden Teil der

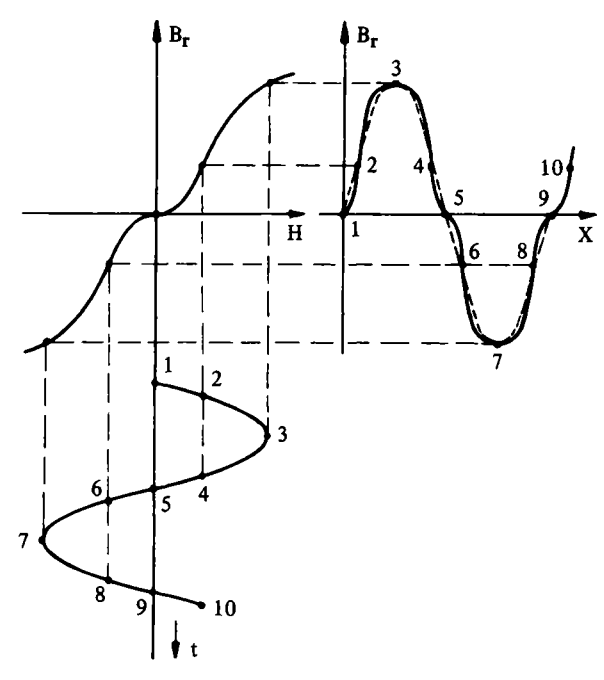


Abb. 7/11. Direktaufzeichnung ohne Vormagnetisierung.

Remanenzkurve (Gleichstromvormagnetisierung) bei entsprechend reduzierter Nutzamplitude oder man linearisiert die Remanenzkurve (HF-Vormagnetisierung). Das zweite Verfahren hat erst den heutigen hohen Stand der analogen Magnettontechnik ermöglicht (von Braunmühl, Weber, 1941). Bei der analogen Schallaufzeichnung wird heutzutage ausschließlich dieses Verfahren eingesetzt.

Schon der Erfinder des Magnettonverfahrens, Poulsen, wandte die Gleichstrommagnetisierung an, um den Arbeitspunkt in den linearen Bereich der Remanenzkurve zu verlegen. Dieses Verfahren hat jedoch nicht nur den Nachteil, daß der nutzbare Teil der Remanenzkurve auf etwa ein Drittel reduziert wird (Verzerrungen bei großen Amplituden bzw. geringe Dynamik), sondern daß das Band zudem in den Modulationspausen einen starken Gleichfluß erhält, der wegen der unvermeidbaren Inhomogenität der Magnetschicht ein starkes Bandrauschen verursacht. Aus diesen Gründen wird die Gleichstromvormagnetisierung nicht mehr angewandt.

### Aufzeichnung mit HF-Vormagnetisierung

Die bei der Aufzeichnung mit HF-Vormagnetisierung ablaufenden Vorgänge sind sehr kompliziert und werden von einer Vielzahl von Faktoren mitbestimmt. Eine vollständige theoretische Beschreibung dieses Aufnahmeverfahrens ist schwierig.

Es gibt zwar verschiedene Modellvorstellungen über den Ablauf des Aufnahmevorgangs, keine wird aber allen Erscheinungen, die dabei auftreten, voll gerecht. Teils gehen diese Modellvorstellungen von der Hysteresiskurve eines Magnettonbandes aus [7.6], [7.7], [7.8], [7.9], [7.10], [7.11], teils von den Vorgängen in den einzelnen Magnetpartikeln, deren statistische Überlagerung dann den gesamten Aufnahmevorgang beschreibt [7.10], [7.11]; trotz des unbefriedigenden Stands der theoretischen Kenntnisse beherrscht man in der Praxis die Technologie des Aufnahmevorgangs mit HF-Vormagnetisierung. Dem NF-Strom des Sprechkopfes wird ein sinusförmiger HF-Strom mit einer Frequenz von 80–150 kHz überlagert; diese HF wird also nicht moduliert, sondern der NF zuaddiert. Die Amplitude dieses HF-Stroms ist ca. zehnmal größer als die des NF-Stroms bei Bezugspegel. Die Wellenlänge der HF-Aufzeichnung ist dabei jedoch so gering, daß sie infolge von Selbstentmagnetisierung und Spaltdämpfungsverlusten (siehe unten) vom Hörkopf praktisch nicht mehr abgetastet werden kann. Neben den Modellvorstellungen von Preisach [7.12] und Westmijze [7.13] erlaubt die Remanenzkurventheorie nach Camras eine einigermaßen anschauliche Darstellung der Aufnahmevorgänge, wenn auch keine theoretische Erklärung; sie liegt den folgenden Ausführungen zugrunde.

Die Remanenzkurve hat drei verschiedene Bereiche (vgl. Abb. 7.10): Im Bereich des Nullpunktes besteht zwischen der Remanenz B, und der einwirkenden Feldstärke H ein nichtlinearer Zusammenhang an. Es folgen symmetrisch zum Nullpunkt zwei Bereiche linearer Abhängigkeit. Daran schließt sich an den beiden Enden der Kurve wieder ein Bereich mit nichtlinearem Zusammenhang. Bei der Gleichstromvormagnetisierung arbeitet man nur in einem der beiden linearen Bereiche. Bei der Wechselstromvormagnetisierung gelingt es, in beiden linearen Bereichen zu arbeiten, die beiden linearen Bereiche praktisch zu einer einzigen geraden Kennlinie zusammenzufügen. Die HF-Vormagnetisierung verschiebt die NF-Modulation bis jeweils in den linearen Kurvenbereich hinein. Aufgezeichnet wird damit eine hochfrequente Schwingung, deren beide Einhüllende im Rhythmus der Tonfrequenz wie in Abb. 7/12 dargestellt schwanken. Die HF wird dabei verzerrt, die NF bleibt unverzerrt. Da bei der Wiedergabe aber wegen der geringen Wellenlänge der HF-Modulation von wenigen µm nicht genau der Verlauf der HF-Modulation abgetastet werden kann, findet eine Mittelwertbildung aus den beiden Umhüllenden statt (Abb. 7/12):

$$B_{NF} = \frac{B_{r1} + B_{r2}}{2} \qquad \qquad B_{NF} = \text{remanente Induktion der Tonfrequenz [T]} \\ B_{r1,2} = \text{Einhüllende der aus NF und HF zusammenge} \\ \text{setzten Induktion [T]}.$$

Diese gemittelte, abgetastete Modulation B<sub>NF</sub> liegt symmetrisch zum Nullpunkt und erscheint also gerade im Bereich größter Nichtlinearität der Remanenzkurve. D.h. aber praktisch, daß gerade in diesem Bereich durch die HF-Vormagnetisierung eine Linearisierung stattfindet. Man kann das dadurch darstellen, daß man entsprechend der Mittelwertbildung bei der Abtastung zwei hypothetische Remanenzkurven B<sub>-1</sub>

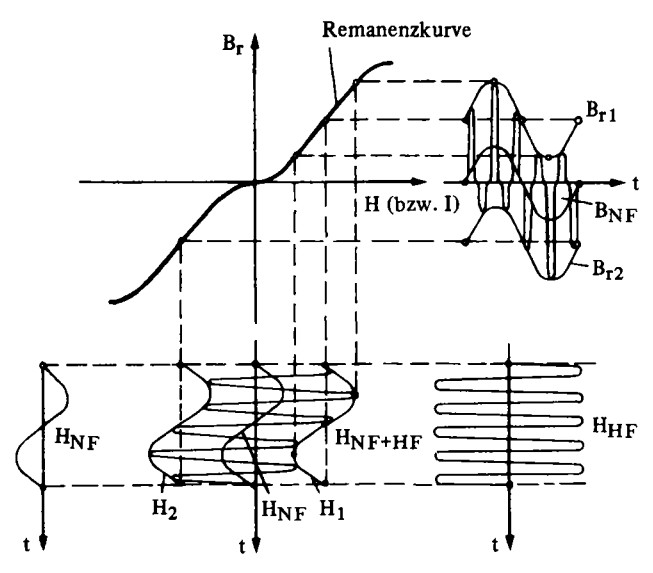


Abb. 7/12. Aufsprechvorgang mit HF-Vormagnetisierung.

und  $B_{r2}$  konstruiert und danach die gemittelte Kurve  $B_{NF}$ , Arbeitskennlinie genannt ( $Abb.\ 7/13$ , dick ausgezogen). Ein Nachteil der Darstellung nach der Remanenzkurventheorie ist, daß hierbei nicht das tatsächliche Amplitudenverhältnis von HF zu NF berücksichtigt wird.

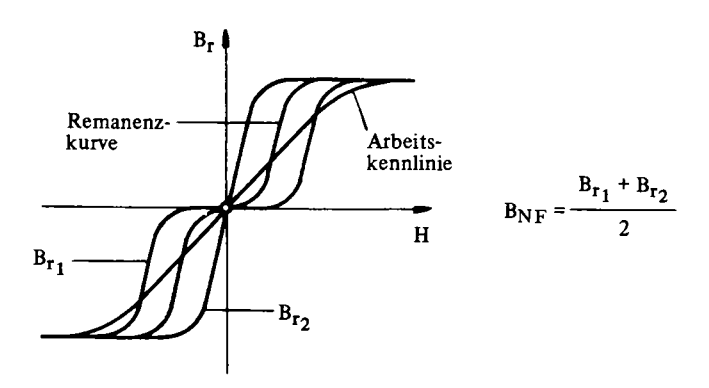


Abb. 7/13. Darstellung der Arbeitskennlinie nach Camras [6.7].

#### Selbstentmagnetisierungsverluste

Im Band tritt schon unmittelbar nach der Aufzeichnung eine entmagnetisierende Wirkung dadurch auf, daß Abschnitte entgegengesetzter Magnetisierungsrichtungen dicht aufeinanderfolgen. Stellt man sich dies in einem vereinfachten Modell so

vor, daß das Band aus einer Kette aneinandergereihter Permanentmagnete wechselnder Polarität besteht, so wird verständlich, daß die Verluste bei gegebener Banddicke mit kleiner werdender Wellenlänge der Aufzeichnung bzw. mit steigender Frequenz infolge Selbstentmagnetisierung ansteigen müssen. Man bezeichnet dies auch als Bandflußdämpfung. Hochkoerzitive Bänder, bei denen zur Löschung einer Magnetisierung starke Gegenfelder einwirken müssen, sind dieser entmagnetisierenden Wirkung weniger ausgesetzt. Moderne Bänder, besonders für kleine Bandgeschwindigkeiten, haben deshalb hohe Koerzitivfeldstärken.

### Elektroakustische Eigenschaften von Bändern

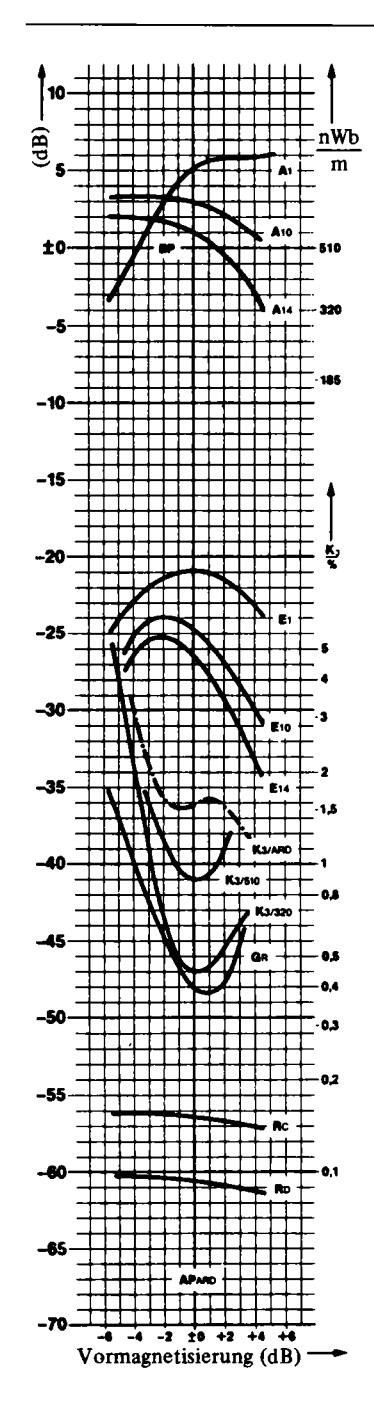
Die Anforderungen an Magnettonbänder richten sich nach der Geräteklasse, für die ein Magnettonband bestimmt ist. Man unterscheidet die Geräteklassen hauptsächlich nach den Bandgeschwindigkeiten:

Studiogeräte 38 und 19s Heimgeräte 19 h, 9,5 und 4,76 Kassettengeräte 4,76 HiFi-Kassettengeräte 4,76

Die elektroakustischen Eigenschaften des Bandes, die für die Qualität einer Tonaufnahme und -archivierung wesentlich sind, werden vor allem durch die Aussteuerbarkeit für hohe und tiefe Frequenzen, den Geräuschspannungsabstand und die Kopierdämpfung bestimmt. Die Qualität eines Bandes stellt einen Kompromiß zwischen diesen Größen dar. In der Regel geht eine Verbesserung einer dieser Größen zu Lasten einer oder der beiden anderen. Die Eigenschaften eines Bandes werden in einem Datenblatt erfaßt. Im einzelnen werden dabei die unten genannten Meßgrößen angegeben, und zwar einmal als Werte, die für den sog. ARD- Arbeitspunkt gelten, zum anderen als Diagramm in Abhängigkeit vom HF- Vormagnetisierungsstrom. Die Magnetbandgeräte müssen auf die jeweils verwendete Bandsorte eingemessen werden und zwar durch die jeweils optimale Einstellung des HF-Vormagnetisierungsstroms, des sog. Arbeitspunkts und des NF-Aufsprechstroms. Im Rahmen dieser Darstellungen werden allerdings keine detaillierten Einmeßanweisungen gegeben; siehe dazu Kapitel 11.

#### Einfluß des Vormagnetisierungsstroms

Die Qualität der magnetischen Aufzeichnung hängt wesentlich von der richtigen Bemessung des Vormagnetisierungsstroms ab. Abb. 7/14 zeigt am Beispiel eines Studiobandes für 38 cm/s die Abhängigkeit der wichtigsten für das Band charakteristischen elektroakustischen Daten vom Vormagnetisierungsstrom. Bezugswert (OdB) der Abbildung ist der in den öffentlich-rechtlichen Rundfunkanstalten (ARD) für das Band empfohlene Wert. Die elektroakustischen Größen werden unten definiert.



Meßbedingungen				
Bandgesch	38,1 cm/s			
Spurbreite	2,75 mm			
Sprechkop	18 μm			
	e-Entzerrung	35 μs		
Bezugspeg		510 nWb/m		
ARD-Arbe	eitspunktdefinition	K <sub>3</sub> -minimum		
Arbeitspun		+1,0 dB		
(bezogen a	uf ARD-Referenzlee	rband)		
BP	Bezugspegel			
$AP_{ARD}$	ARD-Arbeitspunkt	:		
$A_1$	Aussteuerbarkeit be	$i 1  kHz, k_3 = 3\%$		
$\mathbf{A}_{10}$	max. Aussteuerbarl	keit bei 10 kHz		
A <sub>14</sub>	max. Aussteuerbarl	keit bei 14 kHz		
$a_{d3}$	Differenztondämpf	ung nach DIN		
	45 403			
$E_1$	Empfindlichkeit bei			
$E_{10}$	Empfindlichkeit bei 10 kHz			
E <sub>14</sub>	Empfindlichkeit bei			
k <sub>3/320</sub>	Klirrdämpfung bei 3			
k <sub>3/ARD</sub>		eferenzleerban-		
_	des			
k <sub>3/510</sub>	Klirrdämpfung bei	ARD-Bezugs-		
_	pegel 510 nWb/m			
$G_R$	Gleichfeldrauschspa	innungsab-		
_	stand, bewertet			
$R_{c}$	Störspannungsabsta			
~	bewertet mit CCIR-			
$R_{D}$	wie vor, jedoch nach	DIN 45 405 be-		
A /TD	wertet	1 (5 ")		
$A_1/R_C$	Storspannungsabsta			
	rel. zur Aussteuerba			
A /D	1 kHz (CCIR-Filter	•		
$A_1/R_D$	wie vor, jedoch nach	-90 COP CP NITO		
ко	wertet			
NO.	Kopierdämpfung			

**Abb. 7/14.** Abhängigkeit einiger elektroakustischer Bandeigenschaften von der Größe des Vormagnetisierungsstroms (Erläuterung der Größen im Text).

Die empfohlene Einstellung des Arbeitspunktes führt zu geringen Verzerrungen (große Dämpfung des kubischen Klirrfaktors) und niedrigem Rauschpegel (großer Modulationsrauschspannungsabstand) – bei manchen Bändern allerdings auf Kosten einer an sich möglichen besseren Aussteuerbarkeit bei hohen Frequenzen. Die richtige Einstellung des Arbeitspunkts hängt vom Bandtyp ab, aber auch von der Sprechkopfspaltbreite und vom Kopfkernmaterial. Eine Deutung der zunächst empirisch gefundenen, ziemlich verwickelten Zusammenhänge ist näherungsweise möglich [7.1], [7.10]. Auch die Frequenz des Vormagnetisierungsstroms beeinflußt die Qualität der Aufnahme. Für hochwertige Aufzeichnungen wird der Bereich von 80 bis 150 kHz bevorzugt, um auch bei hoher Aussteuerung hörbare Differenztöne zwischen HF und NF zu vermeiden. Je höher die Frequenz ist, um so größer muß jedoch wegen der frequenzabhängigen Verluste im Lösch- und Sprechkopf der HF-Energieaufwand sein.

# Vormagnetisierungsstrombedarf und Arbeitspunkt

Der Vormagnetisierungsstrom wird zunächst so eingestellt, daß der maximale NF-Ausgangspegel erreicht wird. In der Studiogeräteklasse wird dann der Vormagnetisierungsstrom weiter erhöht, bis der Ausgangspegel um 2 dB abfällt. Die Aufzeichnungsfrequenz beträgt 10 kHz, ca. 20 dB unter Vollaussteuerung. Der Unterschied im Strombedarf für den Prüfling gegenüber dem Strom für das DIN-Referenzleerband wird als Vormagnetisierungsstrombedarf in dB angegeben.

Um vergleichbare Ergebnisse zu erhalten, werden Bandmessungen mit dem Vormagnetisierungsstrom des DIN-Referenzleerbandes vorgenommen. Im Betrieb sind die Studiomaschinen jedoch oft auf einen davon abweichenden Wert einzustellen. Der optimale Wert, der bei unterschiedlichen Bandsorten anders sein kann, liegt dort, wo Klirrfaktor und Gleichfeldrauschen möglichst gering sind.

Der Empfindlichkeitsabfall für den empfohlenen Arbeitspunkt  $\Delta E_{10}$  gibt deshalb an, um wieviel dB der Ausgangspegel bei der Einstellung des Vormagnetisierungsstroms nach dem Maximum abfallen soll.

Manchmal wird auch ein "empfohlener Arbeitspunkt" angegeben. Hierunter versteht man die Abweichung des Vormagnetisierungsstroms vom DIN-Arbeitspunkt beim DIN-Referenzleerband, also in der Studiogeräteklasse der Unterschied gegenüber dem "2-dB-Abfall".

#### Bezugspegel

Nach DIN 45 513 ist der Bezugswert des Bandflusses bei Studiobändern mit den Bandgeschwindigkeiten 38 cm/s, 19 cm/s und 76 cm/s auf 320 nWb/m entsprechend 320 pW/mm festgelegt. Dieser Wert wurde als Kompromiß zwischen der Forderung nach einem möglichst großen Störabstand und möglichst geringen Verzerrungen gewählt. Bei Einführung der Stereofonie und der damit verbundenen Reduzierung der Spurbreite von 6,3 auf 2,75 mm wurde in den öffentlich-rechtlichen Rundfunkan-

stalten der Bezugswert um 4,05 dB auf 514 nWb/m hinaufgesetzt. Dies mußte geschehen, um die Lautstärke einer Stereoaufnahme derjenigen einer Monoaufnahme, die über dieselbe Wiedergabeanordnung gehört wird, anzugleichen (+ 3dB) und die Leerspur auf dem Band auszugleichen (+ 1,05 dB). Dies war möglich, weil inzwischen auch die Aussteuerbarkeit der Bänder verbessert werden konnte. Dieser erhöhte Bezugswert von 514 nWb/m wird ARD-Bezugswert genannt und ist die derzeitige Aussteuerungsgrenze entsprechend 6 dBu, 0 dB, 100% bzw. 1,55 V. Für Bandmessungen gilt aber weiterhin der Bezugswert 320 nWB/m.

Mit Einführung des Rauschverminderungssystems Telcom c4 wurde der Störspannungsabstand ganz erheblich vergrößert. Deshalb wurde in fast allen Rundfunkanstalten der Bezugswert für Aufnahmen mit Telcom wieder auf den genormten Bezugswert 320 nWb/m zurückgenommen. Die Herabsetzung des Pegels bei Telcomaufnahmen um 4 dB in dem Rauschunterdrückungssystem vorgenommen. Zu Lasten eines an sich größer möglichen Störabstands wird sowohl das Maß an Verzerungen reduziert als auch der Abstand zwischen Höhen- und Tiefenaussteuerbarkeit.

Für Heimton- und Kassettenbänder gelten niedrigere Bezugswerte nach DIN 45 513: für die Bandgeschwindigkeiten 9,5 cm/s und für 4,76 cm/s 250 nWb/m.

### Frequenzgang

In der Studiogeräteklasse wird der Frequenzgang von Magnetbändern als Unterschied des Ausgangspegels des Prüflings zum Ausgangspegel des DIN-Referenzbandes bei der Aufzeichnung von 14 kHz angegeben. Das verwendete Magnetbandgerät muß so eingemessen sein, daß der Frequenzgang bei der Aufzeichnung auf das Referenzband geradlinig ist. Der Aufzeichnungspegel soll etwa 20 dB unter Vollaussteuerung liegen.

#### Aussteuerbarkeit

Die Aussteuerbarkeit eines Bandes ist der maximal mögliche Wiedergabepegel bei der angegebenen Frequenz (1, 10 und 14 kHz) relativ zum jeweiligen Bezugspegel (514 oder 320 nWb/m). Das Verhalten des Bandes bezüglich Aussteuerbarkeit zeigt gerade entgegengesetztes Verhalten bei 1 kHz und bei hohen Frequenzen, wenn der Vormagnetisierungsstrom erhöht wird. Die Lage des Arbeitspunktes stellt auch diesbezüglich einen Kompromiß dar (Abb. 7/14).

Bei 1 kHz wird die Aussteuerbarkeit angegeben als Unterschied zwischen dem Eingangspegel, der einen Klirrfaktor von 3% vom Band erzeugt, und dem Bezugspegel. Der gefundene Wert gibt den Bandfluß relativ zum Bezugsband, also relativ zu 320 nWb/m an und wird als Bandfluß bei Vollaussteuerung bezeichnet.

Da hohe Frequenzen (10 bis 14 kHz) wegen der geringeren wirksamen Schichtdicke wesentlich niedrigere Wiedergabepegel ergeben, ist die Aussteuerbarkeit bei den hohen Frequenzen (kleinen Wellenlängen) von besonderer Bedeutung. Dazu wird

das zu prüfende Band mit dem DIN-Referenzband verglichen: In der Studiogeräteklasse wird bei einer Frequenz von 14 kHz die Eingangsspannung bei der Aufnahme jeweils so weit erhöht, bis die Ausgangsspannung des Wiedergabeverstärkers nicht mehr ansteigt. Der Pegelunterschied zwischen dem Prüfling und dem Leerteil des DIN-Referenzbandes wird dann als maximale Aussteuerbarkeit bei hohen Frequenzen bezeichnet. Diese Angabe dient nur Bandvergleichen. Praktisch nutzbar ist die Aussteuerbarkeit bei hohen Frequenzen nicht, weil längst die Sättigungsmagnetisierung erreicht ist mit all ihren hörbaren Verzerrungs- und Begrenzungserscheinungen. Auf das Magnetband kann im praktischen Aufnahmebetrieb bei hohen Frequenzen höchstens bis 4 dB unter dem Wert für maximale Aussteuerbarkeit aufgezeichnet werden.

# **Empfindlichkeit**

Der Vormagnetisierungsstrom, der für das jeweilige Bezugsband nach DIN 45 513 notwendig ist, erzeugt bei einigen Bandsorten einen anderen Ausgangspegel als beim DIN-Referenzband. Der Unterschied dieses Ausgangspegels gegenüber dem des Referenzbandes wird als Empfindlichkeit bezeichnet. In der Studiogeräteklasse beträgt die Meßfrequenz 1 kHz bei einem Pegel von etwa 20 dB unter Vollaussteuerung; gemessen wird allerdings bei gleichem Strom auch bei den Frequenzen 10 und 14 kHz.

# Nichtlineare Verzerrungen

Da die Remanenzkennlinie symmetrisch zum Nullpunkt ist, entstehen als Verzerrungsprodukte zunächst nur die ungeradzahligen Harmonischen, vor allem  $k_3$ . Wird jedoch durch eine Unsymmetrie des Vormagnetisierungsstroms (Gleichstromkomponente) der Arbeitspunkt verschoben, so treten zusätzlich geradzahlige Harmonische auf. Eine magnetische Remanenz der Köpfe führt ebenfalls zu geradzahligen Verzerrungskomponenten.  $k_3$  liegt bei modernen Bändern auch bei einem Bezugspegel von 514 nWb/m unter  $1\,\%$ , bei einem Bezugspegel von 320 nWb/m unter  $0.5\,\%$ . Nichtlineare Verzerrungen werden auch als Klirrdämpfung  $a_k$  in dB angegeben (Differenz von Pegel des Gesamtsignals und des Anteils der Verzerrungen); demnach liegt  $a_{k_3}$  bei etwa 40 dB,  $a_{k_2}$  soll über 50 dB liegen.

## Jungfräuliches Rauschen und Betriebsrauschen

Bei einem neuen oder gut entmagnetisierten Band sind die Magnetisierungsrichtungen der einzelnen Partikel statistisch verteilt. Die Magnetisierung kompensiert sich daher in kleinen Bereichen weitgehend; das am Hörkopf vorbeigleitende Band gibt nur ein relativ geringes Rauschen ab, das sog. jungfräuliche Rauschen. Durch Einwirkung der HF-Vormagnetisierung wird dieses Rauschen um ca. 4,5 dB erhöht und ergibt das sog. Betriebsrauschen [7.14], [7.15]. Jungfräuliches und Betriebsrauschen enthalten vor allem hohe Frequenzen. Die Störpegel können auf den Bezugspegel 320 nWb/m oder auf Vollaussteuerung, d.h. auf den Pegel bei 3% Klirrfaktor bezo-

gen werden. Dazu wird ein Bewertungsfilter benutzt (DIN 45 405 bzw. CCIR 468-1 oder IEC 179, Kurve A, siehe Abb. 7/15).

# Gleichfeldrauschen und Modulationsrauschen

Befindet sich auf dem Band ein magnetisches Gleichfeld, so entsteht aufgrund der unvermeidbaren Inhomogenität der Schicht im Hörkopf eine Rauschspannung. Im gleichen Sinne wirkt die Rauhigkeit der Bandoberfläche, die zu Schwankungen des Abstandes zwischen Kopf und Band und damit zu entsprechenden Schwankungen des magnetischen Gleichfeldes im Kopf führt. Das Gleichfeld würde im Prinzip nicht rauschen, wenn es völlig gleichmäßig wäre. Seine Schwankungen führen vor allem zu dem tieffrequenten "Poltern" gleichstrommagnetisierter Bänder. [7.15], [7.16]

Das Gleichfeldrauschen wird durch eine Unsymmetrie des Lösch- und Vormagnetisierungsstroms sowie eine Gleichfeldvormagnetisierung der Magnetköpfe und Bandführungsteile verursacht. Es ist also – im Gegensatz zum jungfräulichen und Betriebsrauschen – durchaus vermeidbar. Die Unterdrückung des Gleichfeldrauschens erfordert eine regelmäßige, sorgfältige Entmagnetisierung der Köpfe und Bandführungsteile sowie eine Symmetrierung des Vormagnetisierungsstroms.

Da auch die Nutzmodulation im Bereich jeweils einer halben Wellenlänge der aufgezeichneten Modulation eine Ausrichtung der Magnetisierung in nur einer Richtung hervorruft, ergibt sich in diesen kleinen Bereichen jeweils ein Gleichfeldrauschen, das sich der Modulation überlagert, das sog. Modulationsrauschen. Es ist der aufgezeichneten Amplitude etwa proportional. Glücklicherweise wird das Modulationsrauschen jedoch durch die Nutzaufzeichnung akustisch weitgehend verdeckt. Die Messung erfolgt nach DIN 45 519, Tl. 2 mit einem Geräusch- und Fremdspannungsmesser nach DIN 45 405 in Stellung "Fremdspannung" unter Vorschaltung eines Filters, das die Verdeckungswirkung des Gehörs berücksichtigt. Angegeben wird der Gleichfeldrauschspannungsabstand bezogen auf den Bezugspegel.

#### Störspannungsabstand

Der Stör- oder Geräuschspannungsabstand wird bei einem gelöschten und vormagnetisierten Band ohne NF gemessen, es handelt sich also um das Betriebsrauschen, das alle Rauschquellen bei der magnetischen Bandaufzeichnung zusammenfaßt. Angegeben wird der Pegelabstand zum Bezugspegel oder zur Aussteuerbarkeit bei 1 kHz (Klirrfaktor 3%). Die Messung wird bewertet; derzeit sind Messungen nach drei unterschiedlichen Bewertungskurven in den Datenblättern angegeben (Abb. 7/15). Wegen der verschiedenen Möglichkeiten des Bezugswertes und der Bewertung muß beim Vergleich von Meßdaten sorgfältig auf die Meßbedingungen geachtet werden. Differenzen in den Meßergebnissen durch unterschiedliche Bewertungen bis etwa 10 dB sind möglich.

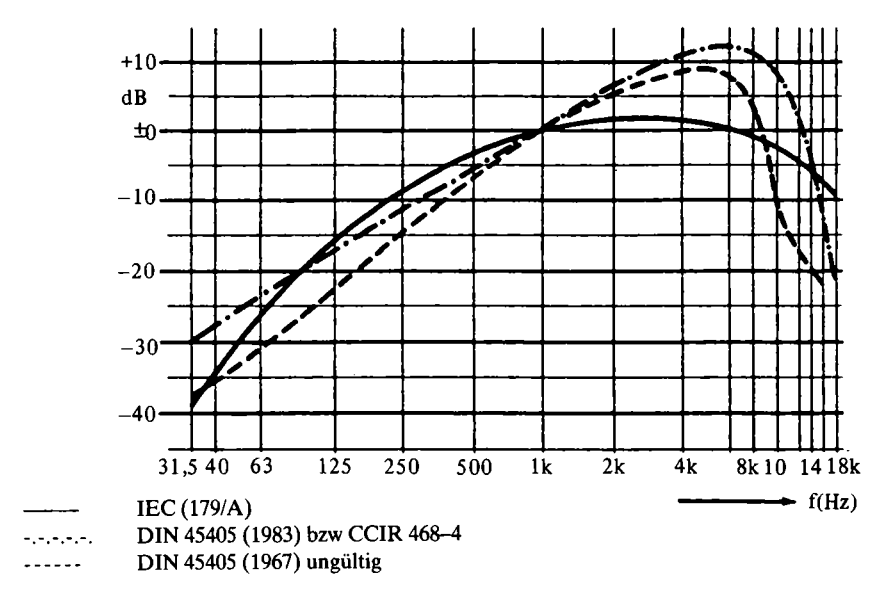


Abb. 7/15. Bewertungskurven für Störspannungsmessungen.

Seit Beginn der achtziger Jahre wurden für Produktionen im Bereich der E-Musik und für Wortproduktionen, die nicht nur Aktualitätswert haben, Rauschverminderungssysteme eingeführt, die zu einer ganz erheblichen Qualitätssteigerung des Magnettonverfahrens geführt haben. Damit können Störabstände erreicht werden, die diejenigen bei Aufnahmen ohne solche Systeme bis um etwa 20 dB übersteigen (siehe dazu 7.1, 3).

#### Kopiereffekt und Echolöschung

Im Bandwickel ist jede Windung den von benachbarten Windungen ausgehenden Magnetfeldern ausgesetzt. Bei längerem Lagern entsteht dadurch ein magnetisches Abbild der Modulation der Nachbarwindungen, vor allem wenn äußere magnetische Felder, höhere Temperaturen oder mechanische Erschütterungen die Ummagnetisierungsprozesse begünstigen [7.17], [7.18]. Beim Abspielen des Bandes hört man dabei, besonders wenn ein sehr lautes Schallereignis (z. B. ein Schuß) in eine Pause fällt, im Abstand jeweils einer Umdrehungsdauer des abwickelnden Tellers vor und nach dem Originalereignis ein oder mehrere sog. Echos, die außerordentlich stören können (Abb. 7/16). Aus Gründen der Geometrie des Bandwickels sind Vor- und Nachechos ungleich (Abb. 7/17).

Psychologisch stören die Vorechos mehr als die Nachechos. Die deutsche Schichtlage des Bandes berücksichtigt dies (Abb. 7/18), indem die Archive "Programmanfang außen" lagern; die Vorechos sind so geringer als die Nachechos. Bei internationaler Schichtlage muß für gleiche Verhältnisse "Programmende außen" gelagert werden.

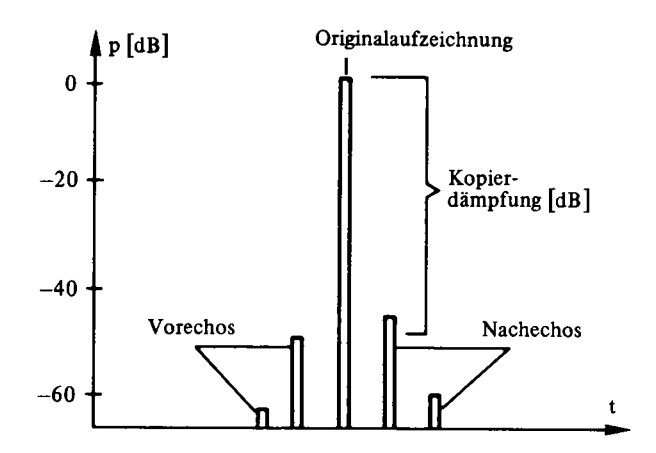


Abb. 7/16. Kopiereffekt bei deutscher Schichtlage des Bandes ("Schichtaußen-Wicklung").

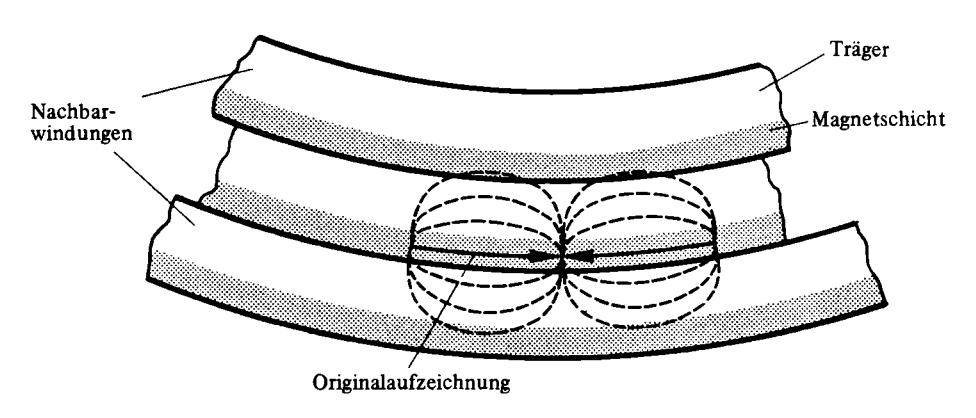


Abb. 7/17. Magnetfeld des bespielten Bandes bei deutscher Schichtlage.

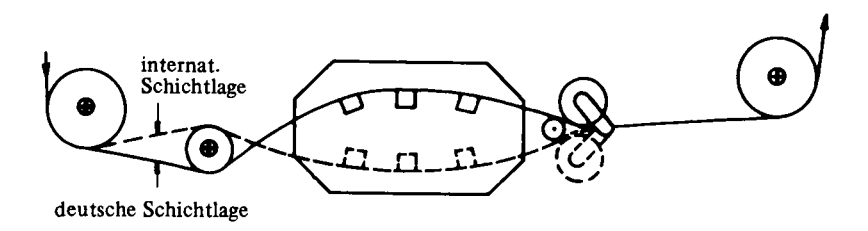


Abb. 7/18. Schichtlagen des Magnetbands.

Besonders kritisch sind bei 38 cm/s Bandgeschwindigkeit die mittleren Frequenzen, die im Bereich guter Hörbarkeit liegen und bei denen außerdem die Wellenlängen bei höheren Bandgeschwindigkeiten so groß sind, daß die Feldlinien aus dem Band heraustreten und sich über die benachbarten Windungen schließen. Ferner begünstigen geringe Trägerstärke, hohe Permeabilität der Schicht und großer Volumenfüllfaktor diesen Kopiereffekt, ebenso der Anteil "magnetisch weicher" Partikel. Der Kopiereffekt wird meßtechnisch durch die Kopierdämpfung erfaßt; sie ist definiert als der Pegelunterschied eines mit Bezugspegel aufgezeichneten 1 kHz-Signals zu dem größten auf die Nachbarwicklung kopierten Signal nach 24 Stunden Lagerung bei 20 °C (Messungen nach DIN 45 519 Tl. 1).

Die ungünstigsten geometrischen Bedingungen für Echos bestehen dann, wenn die Wellenlänge etwa 6 mal größer ist als die Banddicke. Bei einer Bandgeschwindigkeit von 38 cm/s und der üblichen Dicke eines Studiobandes von 50  $\mu$ m ergibt sich ein Maximum um 1 kHz. Da hohe Temperaturen den Kopiereffekt erheblich beschleunigen, sollten Bänder stets vor Wärmeeinwirkung geschützt werden.

Obwohl es in den letzten Jahren gelungen ist, die Kopierdämpfung durch Verringerung des Anteils magnetisch extrem weicher Teilchen wesentlich zu verbessern, ist jedoch in bestimmten Fällen eine weitere Verringerung dieser Echos wünschenswert und auch möglich. Dazu wird das Band vor der Wiedergabe einem schwachen magnetischen Wechselfeld ausgesetzt, das so bemessen ist, daß es die instabilen, durch die schwachen Magnetfelder erzeugten Echos wirksam löscht, ohne die stabilere Nutzaufzeichnung merklich anzugreifen. Das erforderliche Löschfeld kann durch einen mit schwachem Wechselstrom gespeisten Kopf erzeugt werden oder auch dadurch, daß das Band an einem schwachen Permanentmagneten mit örtlich nach Richtung und Betrag wechselndem Feld vorbeigeführt wird. In einer besonders einfachen Ausführung kann dieser Magnet aus einem zweiten, mit einem Sinussignal stark ausgesteuerten Magnetband bestehen, das auf einer nierenförmigen Halterung aufgebracht ist. Bei einem Verlust an Nutzpegel von 1–2 dB lassen sich so zusätzlich Echodämpfungen von etwa 12 dB erreichen. Die Echolöschung ist eine Maßnahme, die nur in Ausnahmefällen angewandt wird.

## Heimton- und Kassettengeräte

Die Meßbedingungen der Heimton- und Kassettengeräte zeigt Tab. 7/2 im Vergleich zur Studiogeräteklasse.

## Wiedergabevorgang

Wird ein besprochenes Band an einem Wiedergabekopf vorbeigeführt, so schließt sich ein Teil der aus der Bandoberfläche austretenden Feldlinien wegen der viel höheren magnetischen Leitfähigkeit des Kernmaterials über den Kopf. Der wechselnde magnetische Fluß induziert damit in der Wicklung des Hörkopfes eine Spannung, die der Änderung des magnetischen Flusses proportional ist (Induktionsgesetz).  $\Phi_{\rm R}$  ist der den Kopf durchsetzende Anteil des Flusses des Bandes (Abb. 7/19).

Tab. 1/2. Micducumpungen der richmun- und Kassenengeraten.	Tab. 7/2	2. Meßbedingu	ngen bei Heimtor	n- und Kassettengeräten.
--	----------	---------------	------------------	--------------------------

gen oei riennon	· uliu Kass	ettengeraten	•	9	
agnetbändern	Studiogeräteklasse 38/19s	Heimgeräteklasse 19h/9,5/4,76	Kassettengeräteklasse 4,76	HiFi-Kassettengeräteklasse 4,7	
Frequenz Pegelabfall	10 2	6,3 3,5	6,3 2,5	6,3 3,5	kHz dB
Frequenz	1000	19/1000	333	333	Hz
Bandfluß	320	19/320 250	250	250	pWb/mm
Frequenz	14	10	8	10	kHz
Klirrfaktor	3	5 HiFi 3	5	3	%
Meßfrequenz	1000	333	333	333	Hz
Frequenz	14	10	8	10	kHz
Frequenz	1000	500	500	500	Hz
	Frequenz Pegelabfall Frequenz Bandfluß Frequenz Klirrfaktor Meßfrequenz Frequenz	Frequenz 1000 Bandfluß 320 Frequenz 14 Klirrfaktor 3 Meßfrequenz 1000 Frequenz 14	Solution   Solution	Frequenz	Second   S

$$U = -\frac{d\Phi_R}{dt} \qquad U = \text{Spannung [V]}$$

$$\Phi_R = \text{magnetischer Fluß [Wb]}$$

$$t = \text{Zeit [s]}$$

Bei für alle Frequenzen konstantem sinusförmigen Wechselfluß auf dem Band ist die Ausgangsspannung am Hörkopf proportional der Frequenz f, d.h., sie steigt mit der Frequenz an. Wegen dieser Proportionalität sagt man, die Hörkopfspannung habe einen "Omegagang" ( $\omega=2\pi$  f). Die abgetastete Frequenz ist der Bandgeschwindigkeit direkt, der aufgezeichneten Wellenlänge also umgekehrt proportional. Im Bereich niedriger und mittlerer Frequenzen erfolgt der Anstieg tatsächlich aber langsamer und bei hohen Frequenzen sinkt die Ausgangsspannung sogar ab.

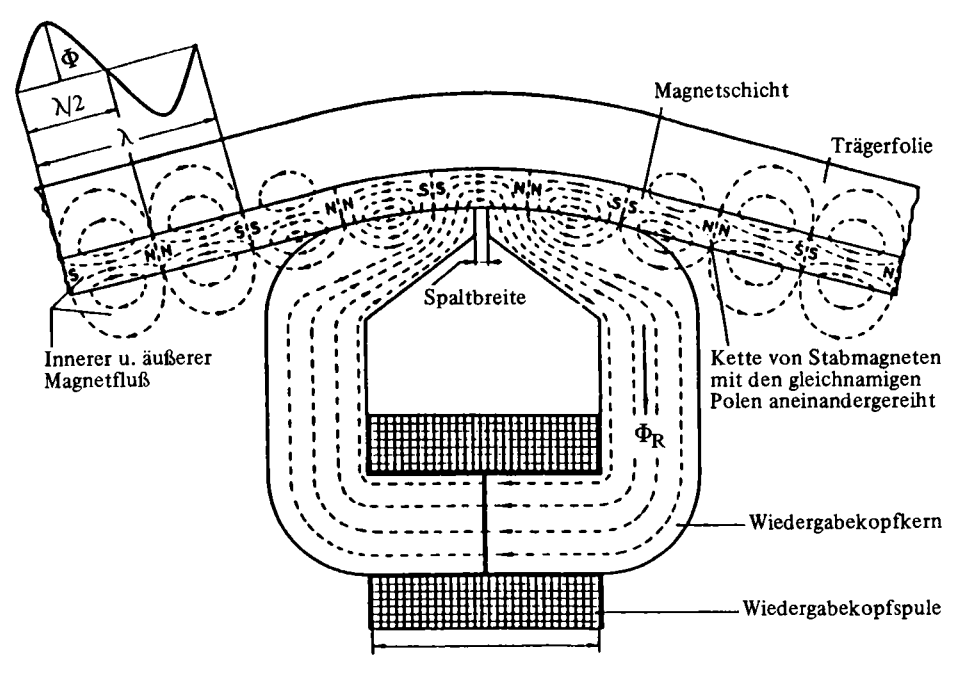


Abb. 7/19. Wiedergabevorgang.

Diese Erscheinung ist vor allem durch die Selbstentmagnetisierung des Bandes (s.o.) bedingt. Zusätzlich treten aber eine Reihe von Einflüssen bei der Wiedergabe hinzu, die den Frequenzgang beeinflussen: Abstands- und Spaltverluste werden im folgenden beschrieben.

#### Abstandsverluste

Bei der Abtastung ist am Hörkopfspalt immer ein kleiner Abstand der magnetischen Teilchen von der Oberfläche vorhanden, der durch die Oberflächenrauhigkeit, mitgerissene Luft und vor allem durch die Dicke der Schicht bedingt ist. Diese Tatsachen wirken sich bei kleineren Wellenlängen, d.h. bei hohen Frequenzen, in einer Verringerung der in den Hörkopf induzierten Spannung aus. Die Dämpfung durch Abstands- und Schichtdickenverluste wird auch Bandflußdämpfung genannt.

## Spaltverluste

Nähert sich die Wellenlänge der Aufzeichnung der Größenordnung der effektiven Spaltbreite, so tritt eine sog. Spaltbreitendämpfung auf, da stets der Mittelwert des magnetischen Feldes über die gesamte Spaltbreite abgetastet wird. Die Spaltbreitendämpfung  $D_{\rm sb}$  ist von der Spaltbreite d und der Wellenlänge  $\lambda$  abhängig:

$$\begin{array}{ll} D_{sb} = 20 \ lg & \frac{\sin \pi d/\lambda}{\pi \cdot d/\lambda} & D_{sb} = Spaltbreitendämpfung \ [dB] \\ d = Spaltbreite \ [\mu m] \\ \lambda = Wellenlänge \ [\mu m] \end{array}$$

Bei den üblichen Magnettonanlagen sind die Spaltbreitenverluste wesentlich geringer als die Selbstentmagnetisierung und die Abstandsverluste, jedoch setzen sie der Abtastung hoher Frequenzen eine prinzipielle Grenze, da die induzierte Hörkopfspannung mit kleiner werdender Wellenlänge immer geringer wird und bei  $\lambda = d$  ganz zu Null wird  $(Abb.\ 7/20)$ .

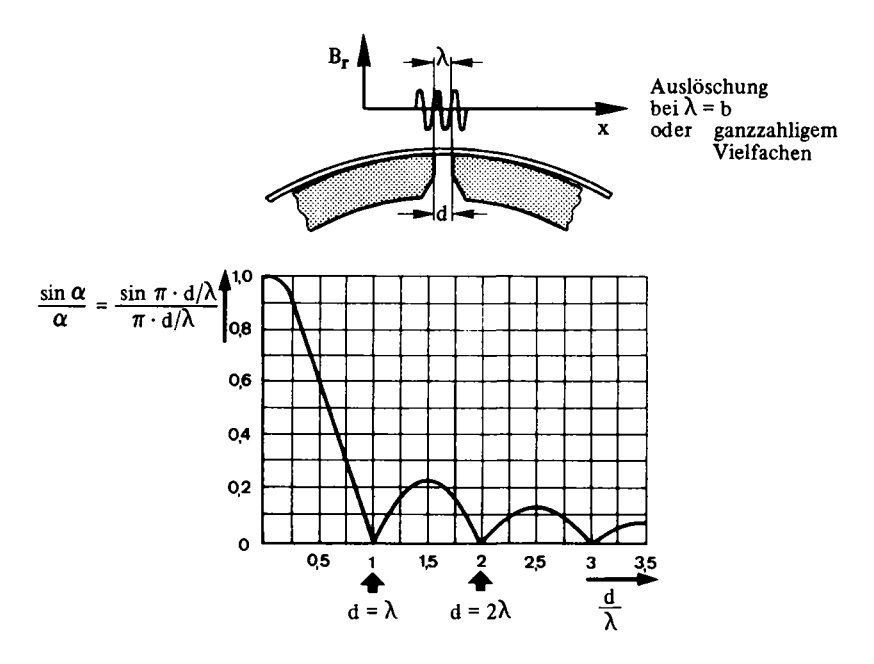


Abb. 7/20. Spaltfunktion (Verlauf des abgetasteten Bandflusses).

Stehen aufzeichnender und abtastender Spalt nicht völlig parallel, so ergeben sich ebenfalls Verluste bei kurzen Wellenlängen, die sog. Spaltwinkeldämpfung  $D_{sw}$ . Sie wirkt sich wie die Spaltbreitendämpfung aus und kann wie eine Verbreiterung des Hörkopfspaltes behandelt werden. In der obigen Formel erscheint dann (b·tg  $\alpha$ +d) anstelle von d (b = Spurbreite,  $\alpha$  = Winkel zwischen den Spaltrichtungen).

#### Entzerrung des Frequenzgangs

Aufgrund des Induktionsgesetzes steigt die Spannung, die in den Hörkopf induziert wird, bei konstantem Bandfluß linear mit der Frequenz an; sie besitzt wie gesagt

einen Omega-Gang. Dieser Frequenzgang wird im Wiedergabeverstärker begradigt. Die Verluste bei hohen Frequenzen – Selbstentmagnetisierung des Bandes, Abstandsverluste, Spaltverluste – werden durch eine Anhebung sowohl durch den Aufsprechverstärker als auch durch den Wiedergabeverstärker ausgeglichen. Bei modernen Bändern ist die Anhebung im Aufsprechverstärker relativ gering verglichen mit der Anhebung im Wiedergabeverstärker. Eine ausschließliche Kompensation beim Aufsprechen würde zwar den Störspannungsabstand verbessern, gleichzeitig aber bei Modulation mit starken Anteilen hoher Frequenzen eine Übersteuerung und damit starke Verzerrungen erzeugen. Ein ausschließlicher Ausgleich bei der Wiedergabe dagegen würde zwar sehr geringe nichtlineare Verzerrungen ergeben, dafür jedoch das Rauschen im oberen Übertragungsbereich erheblich verstärken.

Der Verlauf des Bandflusses ist in DIN 45 513 genormt. Die Normung stellt sicher, daß bei der Wiedergabe alle Bandsorten, die nicht für besondere Betriebsfälle entwickelt wurden, austauschbar sind. Die Bandflußkurven sind für die einzelnen Bandgeschwindigkeiten optimiert, ferner wird zwischen Studio- und Heimtonanwendung unterschieden.

Ein wichtiges Kriterium bei der Festlegung des Bandflusses und der Entzerrungen ist die Pegel-Frequenzstatistik üblicher Tonsignale. Die Durchschnittsspektren und ihre zugehörigen Pegel zeigt Abb. 7/21. Daraus wird ersichtlich, daß die größten Pegel zwischen 200 und 2000 Hz liegen, darunter und darüber fällt der Pegel ab, bei 10 000 Hz z.B. um rund 8 dB.

Bei der Festlegung vor allem der Wiedergabeentzerrung und des Bandflußfrequenzgangs wurde diese Tatsache berücksichtigt. Abb. 7/22 zeigt schematisch die Frequenzgänge vor und hinter dem Aufnahmeverstärker für Meßpegel und Musik sowie den dazugehörigen Bandfluß.

Die Normung des Bandflusses definiert Frequenzgangkurven für den Bandfluß, die Frequenzkurven entsprechen, wie sie von einfachen RC-Gliedern erzeugt werden. Für die Anhebung bei tiefen Frequenzen legt man dabei die Reihenschaltung, für die Absenkung bei den hohen Frequenzen die Parallelschaltung eines Widerstands mit einem Kondensator zugrunde. Durch das Produkt R·C, das als Zeitkonstante  $\tau$  bezeichnet wird, kann der Frequenzgang definiert werden (Abb. 7/23). Die Zeitkonstante wird im Tonfrequenzbereich in  $\mu$ s angegeben.

Reihenschaltung:

$$D_{R} = 20 \log \left( \frac{1}{2 \pi f \cdot \tau} \cdot \sqrt{1 + (2 \pi f \cdot \tau)^{2}} \right) [dB]$$

$$\tau = R \cdot C \qquad f_{o} = \frac{1}{2 \pi \tau}$$

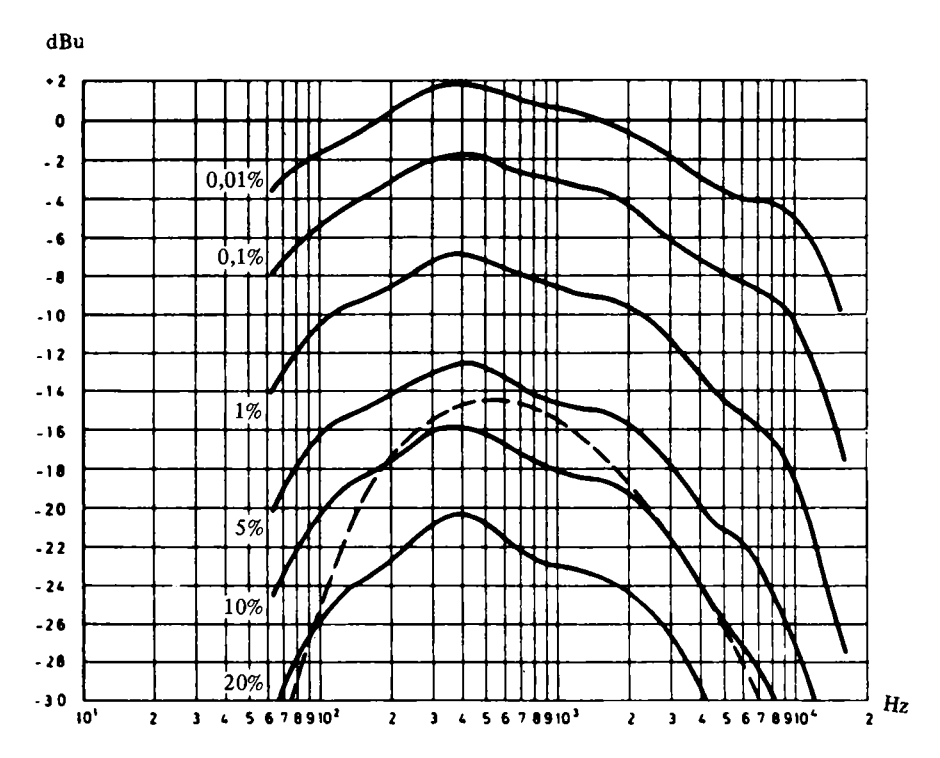


Abb. 7/21. Spektrale Amplitudenverteilung des Mittelwerts über 24 Stunden, Parameter: verschiedene Zeitprozente, gestrichelt: UER-Rauschen.

Parallelschaltung:

$$D_p = 20 \log \left( \frac{1}{\sqrt{1 + (2 \pi f \cdot \tau)^{2^l}}} \right) [dB]$$
  
$$\tau = R \cdot C f_o = \frac{1}{2 \pi \tau}$$

**Tab. 7/3** nennt die Zeitkonstanten und Bezugsbandflußwerte nach DIN 45 513 für die verschiedenen Magnetbänder, Abb. 7/24 zeigt die wichtigsten Kurven.

Die nach DIN 45 513 genormte Bandflußkurve und die Bezugswerte folgen einer Empfehlung nach IEC. Neben dieser Normung gibt es international noch eine Normung der Bandflußkurven nach NAB. *Tab. 7/4* gibt für die wichtigsten Studiobänder die DIN- und NAB-Entzerrung im Vergleich an.

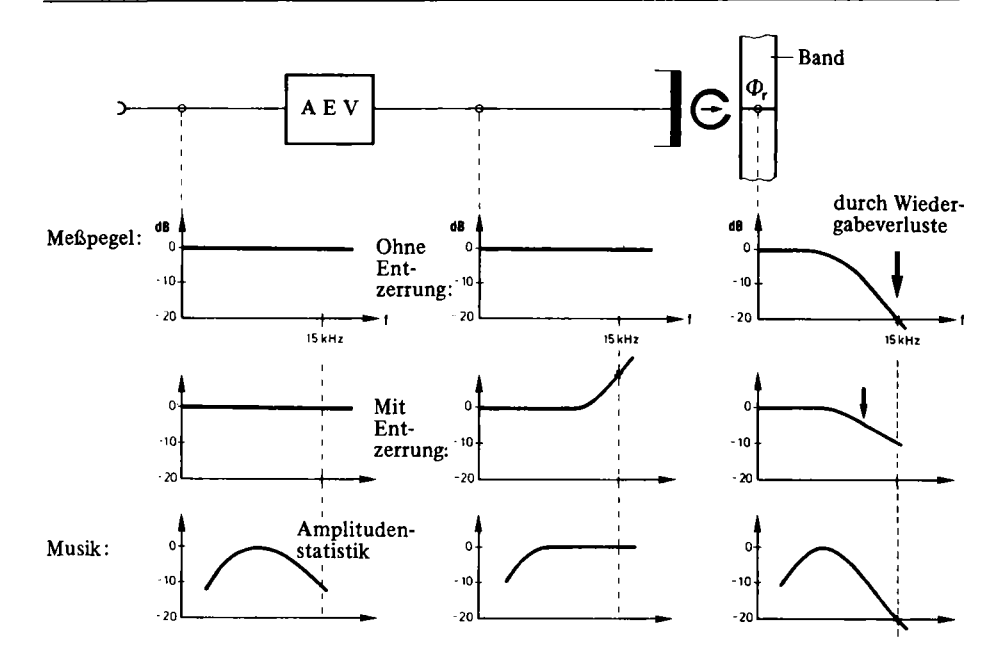


Abb. 7/22. Schematische Darstellung der Frequenzgänge vor und nach dem Aufnahme-Entzerrerverstärker (AEV) sowie des Bandflusses auf dem Magnetband mit Meßpegel und Musik.

**Tab. 7/3.** Bezugswerte und Zeitkonstanten für die verschiedenen Magnetbänder nach DIN 45 513. Bei Kassettenbändern sind zwei verschiedene Zeitkonstanten möglich: die Entzerrung 3180/70  $\mu$ s für Chrombänder, 3180/120  $\mu$ s für Eisenbänder.

Bandklasse	Bandfluß promm	Wiedergabe-Entzerrung Zeitkonstante τ für Magnetflußverlauf			
	Spurbreite	Tiefen	Höhen		
76	320 pWb	_	17,5 μs		
38	320 pWb	_	35 μs		
19 s	320 pWb	_	70 μs		
19 h	320 pWb	3180 μs	50 μs		
9,5	250 pWb	3180 μs	90 μs		
4,76/6,3 mm	250 pWb	3180 µs	120 µs		
Cr 4,76/3,8 mm	250 pWb	3180 μs	70 μs		
Fe 4,76/3,8 mm	250 pWb	3180 µs	120 μs		